

## Izotopska sestava O in C v mezozojskih karbonatnih kamninah Slovenije - vpliv faciesa in diageneze

### Isotope composition of O and C in Mesozoic carbonate rocks of Slovenia - effect of facies and diagenesis

Bojan OGORELEC<sup>1</sup>, Tadej DOLENEC<sup>2,3</sup> & Jože PEZDIČ<sup>2</sup>

<sup>1</sup>Geološki zavod Slovenije, Dimičeva 14, 1000 Ljubljana

<sup>2</sup>Naravoslovnotehniška fakulteta, Odsek za geologijo, Univerza v Ljubljani, Aškerčeva 12,  
1000 Ljubljana

<sup>3</sup>Inštitut Jožef Stefan, Jamova 12, 1000 Ljubljana

*Ključne besede:* karbonatne kamnine, izotopska sestava, kisik, ogljik, mikrofacies, diageneza, mezozoik, Slovenija

*Key words:* carbonate rocks, isotope composition, oxygen, carbon, microfacies, diagenesis, Mesozoic, Slovenia

#### Kratka vsebina

Izotopska sestava  $\delta^{18}\text{O}$  in  $\delta^{13}\text{C}$  blizu 300 vzorcev apnencov in dolomitov mezozojske starosti slovenskega prostora kaže, da je ta pogojena predvsem z njihovo mineralno sestavo, povečano primesjo organske snovi ter z diagenetskimi procesi. Apnenci različnih sedimentacijskih okolij (odprtii in zaprti šelf, lagune, globje okolje) imajo  $\delta^{18}\text{O}$  v razponu med 22 in 30 ‰ SMOW,  $\delta^{13}\text{C}$  pa okrog 2 ‰ PDB. Zgodnjediagenetski dolomiti so glede na apnenec obogateni s težkim kisikovim izotopom za 2 do 5 ‰, kasnodiagenetski dolomiti in dedolomiti pa so glede na apnenec obogateni z lahkima izotopoma kisika in ogljika. Apnenci, ki vsebujejo povisano primes organske snovi in tisti, ki so se odlagali v sladkovodnem okolju (npr. haracejski apnenci) ali kažejo znake meteorske diageneze pa so do 8 ‰ obogateni z lahkim izotopom  $\delta^{13}\text{C}$ . Geološka starost raziskanih vzorcev ne vpliva na izotopsko sestavo karbonatnih kamnin.

#### Abstract

Isotope composition of nearly 300 mostly Mesozoic limestone and dolomite samples were examined and show that  $\delta^{18}\text{O}$  and  $\delta^{13}\text{C}$  changes depend on mineral composition of carbonate, increased organic matter admixture and diagenetic processes. Limestone of different sedimentary environments (open or restricted shelf, lagoons, deeper water...) has  $\delta^{18}\text{O}$  ranging from +22 to +30 ‰ SMOW, and  $\delta^{13}\text{C}$  around +2 ‰ PDB. Early-diagenetic dolomites are in comparison to limestone, enriched in the heavy oxygen isotope for 2 to 5 ‰, while late-diagenetic dolomites and de-dolomites are depleted in heavy isotopes, as well as for oxygen as for carbon. Limestone with higher content of organic matter, those samples which were deposited in the freshwater environment - i.e. characean limestone and those which underwent vadose diagenesis, are enriched in light carbon isotopes. The different age of examined carbonate samples is not reflected in the changes of O and C isotope composition.

## Uvod

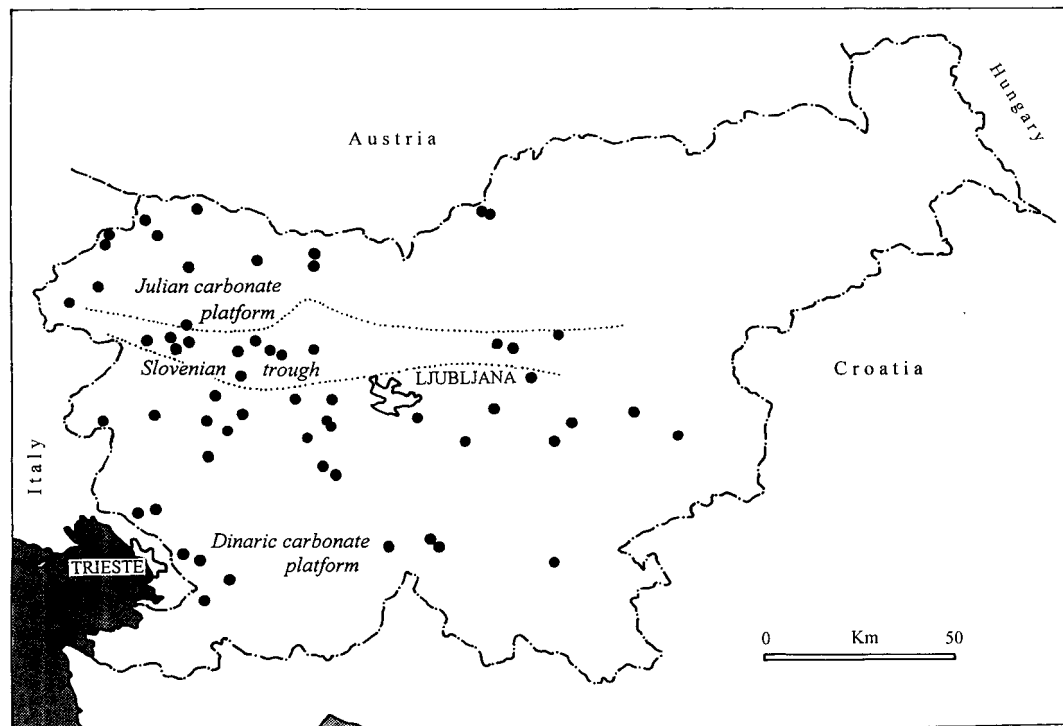
Izotopska sestava kisika in ogljika je v zadnjih dvajsetih letih postala pri študiju nastanka karbonatnih sedimentov in njihove diageneze nepogrešljiva. Poseben razmah je ta geokemična metoda pridobila še z izpolnjeno analitsko tehniko, ki zahteva minimalne količine vzorcev.

V slovenskem prostoru imajo izotopske raziskave karbonatnih kamnin že dokaj dolgo tradicijo. Med začetke sodijo paleotemperaturne študije zgornjepermских in krednih apnencev z območja Velebita, Istre in Dinaridov nasploha (Polšak & Pezdič, 1978), kasneje pa zasledimo predvsem analize  $\delta^{18}\text{O}$  in  $\delta^{13}\text{C}$  v karbonatih slovenskih rudišč (Dolenc et al., 1982, 1990, 1993 a,b,c), posamezne poizkuse paleotemperaturnih interpretacij okolja nastanka karnijskih plasti (Dolenc & Jelen, 1987), glavnega dolomita in dachsteinskega apnanca (Ogorelec & Rother, 1993),

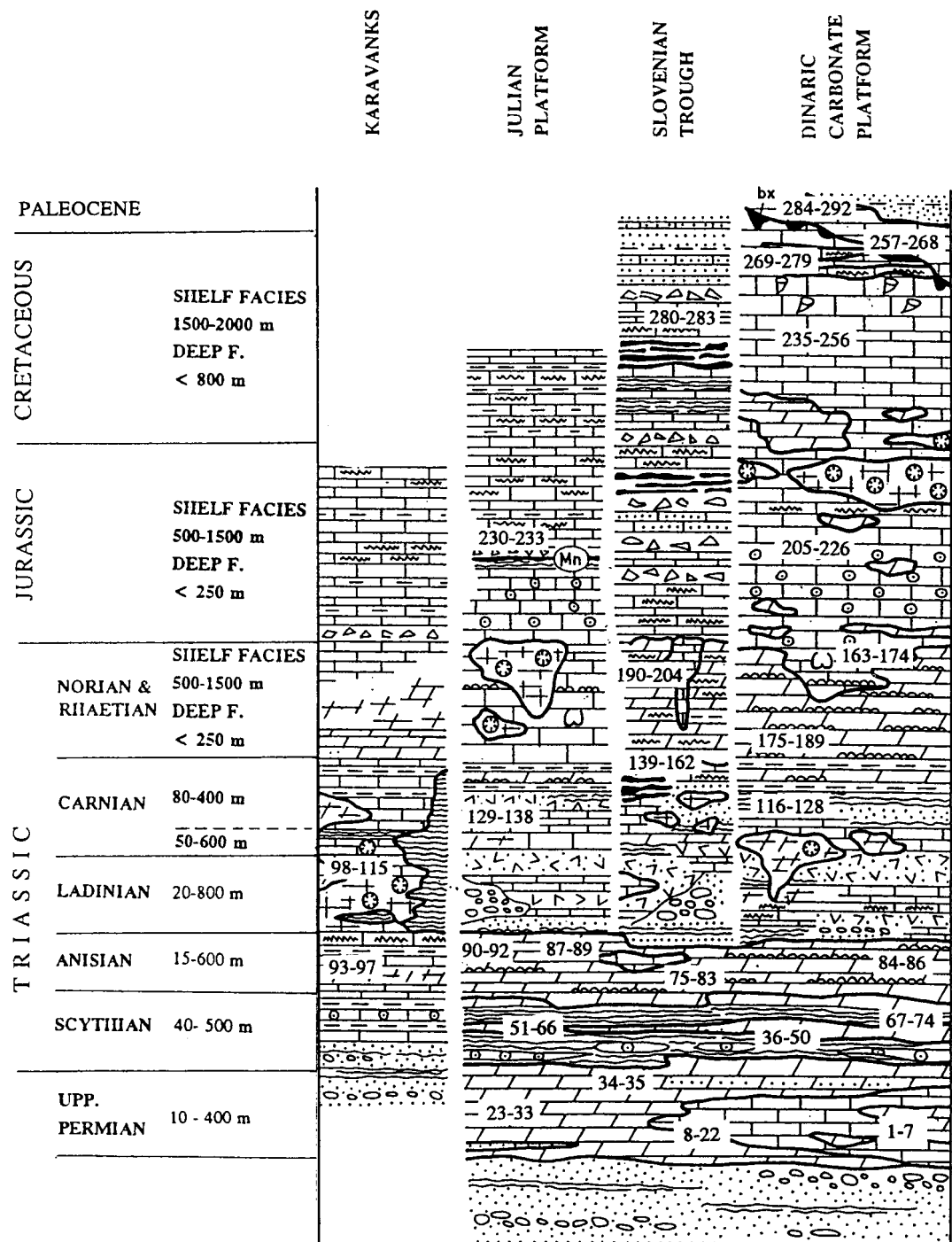
skitijskih plasti pri Tržiču (Dolenc et al., 1981), v zadnjem času pa predvsem o izotopskih spremembah v plasteh na meji med kredo in terciarjem (Dolenc et al., 1995b; Dolenc & Pavšič 1995; Ogorelec et al., 1995; Dröbne et al., 1996) in na meji perm/trias v Karavankah (Dolenc et al. 1995a, 1998) ter v dolini Idrije (Dolenc & Ramovš 1998; Dolenc et al., 1999a, 1999b).

S predstavljenim prispevkom želimo podati sistematični, a vseeno še orientacijski pregled sestave  $\delta^{18}\text{O}$  in  $\delta^{13}\text{C}$  v mezozojskih karbonatnih kamninah zahodne Slovenije, ki ga avtorji izvajamo in dopolnjujemo že več kot deset let. V skopi obliki so bili doseđaj rezultati te študije podani le v kratkem (Ogorelec et al., 1998).

Okrog dve tretjini slovenskega ozemlja grade apnenci in dolomiti različnih starosti. Najbolj pogosto so karbonatne kamnine zastopane v celotnem mezozojskem obdobju, oziroma v časovnem intervalu med zgor-



Sl. 1. Položaj raziskanih vzorcev mezozojskih karbonatnih kamnin za njihovo izotopsko sestavo  
Fig. 1. Sampling sites of Mesozoic carbonate rocks studied for isotopic composition



Sl. 2. Shematski litološki razvoj karbonatnih kamnin v Sloveniji  
38-49: stratigrafski položaj raziskanih vzorcev

Fig. 2. Schematic presentation of lithostratigraphic development of carbonate rocks in Slovenia  
38-49: stratigraphic position of investigated samples

njim permom in paleogeonom, prostorsko pa izdanajo predvsem v zahodni in južni Sloveniji (sl. 1). Njihovo sedimentacijsko okolje je bilo dokaj različno. V času med zgornjim permom in anizijem je celotno slovensko ozemlje pripadalo enotni Slovenski karbonatni plošči, ki je v zgornjem aniziju razpadla na Dinarsko karbonatno ploščo na jugu in Julijsko karbonatno ploščo na severu ter na vmesni Slovenski jarek. Ta se je vlekel od Tolmina preko osrednjega Slovenije proti vzhodu (B u s e r, 1989).

Glavni namen pričujoče študije je, da podamo osnovne oziroma orientacijske vrednosti  $\delta^{18}\text{O}$  in  $\delta^{13}\text{C}$  apnencev in dolomitov različnih geoloških dob ter da povežemo in raziščemo odnose med izotopsko sestavo O in C teh vzorcev v odvisnosti od sedimentacijskega okolja, mikrofaciesa ter diagenetskih značilnosti. V ta namen smo izbrali blizu 300 vzorcev različnih geoloških formacij, glede na njihovo mineralno sestavo, okolje nastanka (plitvo morje, litoral, odprtiti ali zaprti šelf, laguna, greben, evaporitno okolje, globljevodno okolje, brakično okolje), diagenetske značilnosti (npr. dolomitizacija, dedolomitizacija, vpliv evaporitnih mineralov) ter druge parametre (npr. povišan delež organske snovi). Stratigrafski položaj raziskanih vzorcev je prikazan v shematskem litološkem stolpcu (sl. 2).

Glede na to, da je v slovenskem prostoru pričela karbonatna sedimentacija v večjem obsegu z morsko transgresijo na klastite Grödenske formacije v zgornjem permu, smo v študijo zajeli poleg mezozojskih karbonatov tudi nekaj zgornjopermskih apnencev in dolomitov. Prav tako pa smo za primerjavo raziskali tudi nekaj apnencev paleocenske starosti, ki pripadajo Liburnijski formaciji s stratigrafskim razponom od maastrichtja do danija.

Analizirani vzoreci so bili odvzeti v okviru različnih raziskovalnih nalog, predvsem študij v okviru projekta Mezozoika v Sloveniji, Osnovne geološke karte 1:100.000, raziskav za nafto in plin ter posebej za namen te objave. Zbrani rezultati predstavljajo šele preliminarne podatke o izotopski sestavi O in C v karbonatih raziskanih formacij, istočasno pa so lahko dobra osnovno za poglobljene študije v bodočnosti.

## Analitske metode

Za izotopske meritve so primerni le vzorci kamnin, ki niso prepereli ali rekristalizirani. Izbrane vzorce apnencev in dolomitov smo zmleli in homogenizirali. Ker je za masnospektrometrične meritve potrebna plinska spojina, smo karbonate pretvorili v CO<sub>2</sub> s 100 % fosforno kislino (H<sub>3</sub>PO<sub>4</sub>) pri temperaturi 50 °C. Dobljeni plin smo osušili in merili  $\delta^{18}\text{O}$  in  $\delta^{13}\text{C}$  z masnim spektrometrom Varian MAT 250. Celokupna zanesljivost rezultatov izotopskih meritev je  $\pm 0,15\%$  za kisik in  $\pm 0,10\%$  za ogljik. Rezultati so bili zaradi frakcij med karbonatom, CO<sub>2</sub>, in fosforno kislino popravljeni s faktorjem 1,00925 za kalcit in 1,01038 za dolomit in normalizirani glede na mednarodni standard IAEA-CO-1 na PDB skali. Dobljene vrednosti izotopske sestave so funkcionalno povezane z frakcionskim faktorjem ( $\alpha$ ), obogativnim faktorjem ( $\epsilon$ ) in temperaturom (t) s sistemom enačb (F r i t z & F o n t e s, 1980):

$$\Delta_{(A-B)} = \delta_A - \delta_B \approx \epsilon_{(A-B)} = 1000 \ln \alpha_{(A-B)} = \\ = aT^{-2} + bT^{-1} + c$$

kjer so a,b in c konstante, ki sta jih zbrala F r i d m a n in O' N e i l (1977).

Na podlagi poznavanja potrebnih količin, lahko tudi za karbonatni sistem izračunamo druge količine, n.pr. temperaturo obarjanja karbonata ali izločanja biogenega karbonata. Ob poznavanju izotopske sestave kisika pa lahko izračunamo tudi frakcionski faktor med kalcitem (apnencem) in dolomitom.

Pogosto se za izračun ravnotežne temperaturre nastajanja karbonatov uporablja empirična enačna (F r i t z & F o n t e s, 1980):

$$t [^{\circ}\text{C}] = 16,4 - 4,2 (\delta_m - \delta_v) + 0,13 (\delta_m - \delta_s)^2$$

pri čemer je  $\delta_m$  izotopska sestava  $\delta^{18}\text{O}$  karbonatne kamnine v enotah PDB,  $\delta_v$  pa izotopska sestava morske vode (poprečno je  $\delta^{18}\text{O} = 0\text{‰}$ ).

Izračunane vrednosti dajo realne rezultate za obarjene karbonate. Izotopska frakcija v geokemijskem ciklu in teoretske

osnove stabilnih izotopov karbonatnih kamnin so sistematsko prikazane v delu J. Pezdiča (1999).

### Rezultati raziskav

Podatke o izotopski sestavi O in C v raziskanih vzorcih zaradi boljše preglednosti podajamo v tabelah 1 do 9 in na slikah 3 do 12, posebej za vsako geološko obdobje. Poleg oznake vzorcev prikazujamo v tabelah tudi njihovo mineraloško sestavo, strukturni tip kamnine, facies in tiste diagenetske značilnosti, ki vplivajo na njihovo izotopsko sestavo (zgodnje- ali kasnodiagenetska dolomitizacija, dedolomitizacija, vadozna ali freatična cementacija, evaporiti ...).

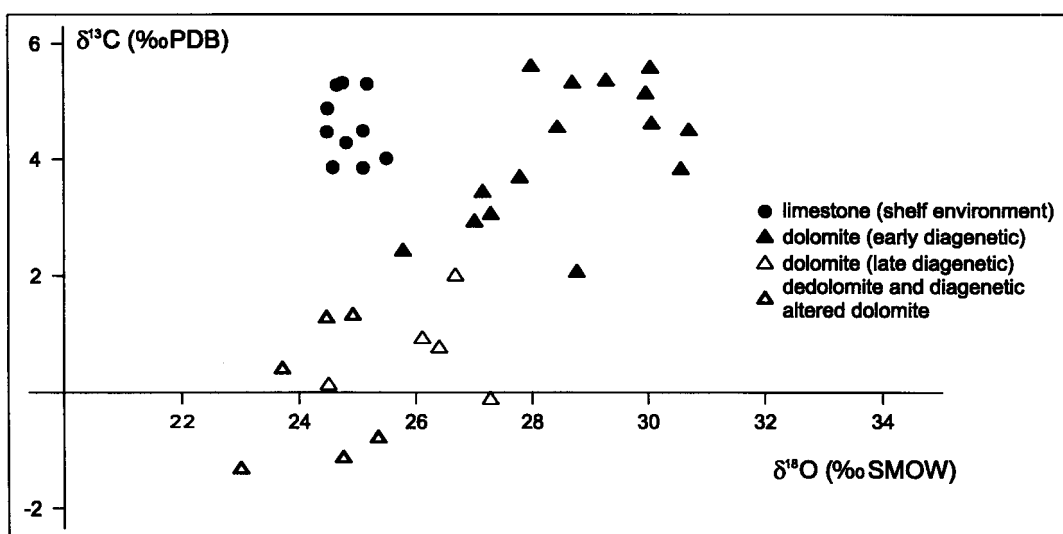
### Zgornji perm

Za obdobje zgornjega perma so litološko značilni trije tipi karbonatnih kamnin. V zahodnem in južnem delu Slovenije, ki je takrat pripadal enotni Slovenski karbonatni plošči, so razviti predvsem **temni biomikritni različki apnenca** (vzorci 1-22, sl. 2). Skeletne alge so v njem večkrat tako številne, da so kamenotvorne (tab. 1, sl. 1 in 2).

V literaturi je ta apnenec znan kot žažarski apnenec (Raamovšček et al., 1958; Buser et al., 1986). Odlagal se je v zaprtem, zelo plitvem šelfu in lagunah, v katerih je občasno prišlo zaradi vroče klime tudi do kristalizacije evaportnih mineralov, predvsem sadre. Nekateri vzorci apnencev imajo rahlo višji delež organske snovi (do 0,8 %, Gorenec et al., 1996). Podoben razvoj zgornjepermских plasti, kot ga opazujemo v raziskanih profilih na Vojskarski planoti (kmetija Rejc), v Javorjevem dolu pri Sovodnju ter v dolini Idrije pri Masorah, je poznani tudi iz širšega prostora Karnijskih Alp (Buggisch, 1974) in Velebita (Sremac, 1991).

V Karavankah (vzorci 23-33, sl. 2) so zgornjepermiske plasti razvite predvsem kot **drobnozrnat zgodnjediagenetski dolomit**, med katerim pa se javljajo tudi več metrov, mestoma tudi nekaj deset metrov debeli paketi **celičnega dolomita** ("rauchwacke, cellular dolomite"), ki kažejo na bolj evaporitno okolje sedimentacije (Dolenec et al., 1981).

Izotopska sestava raziskanih zgornjepermских apnencev in dolomitov je razvidna iz tabele 1. Raziskani vzorci (sl. 3) so razporejeni, skladno z vrsto karbonata, v tri jasne skupine. Deset različkov biomikritnega



Sl. 3. Izotopska sestava  $\delta^{18}\text{O}$  in  $\delta^{13}\text{C}$  raziskanih zgornjepermских karbonatnih kamnin

Fig. 3. Isotopic composition of  $\delta^{18}\text{O}$  and  $\delta^{13}\text{C}$  for Upper Permian carboante rocks

Tabela 1: Sestava stabilnih izotopov, litologija in facies zgornjepermских karbonatnih kamnin

Table 1: Stable isotope composition, lithology and facies of Upper Permian carbonate rocks

Sample No.	Lithology	Facies	Diagenetic features	$\delta^{18}\text{O}$ ‰ SMOW	$\delta^{13}\text{C}$ ‰ PDB
<b>1 - 7 Vojsko plateau-Idrija</b>					
VP 10	black biomicritic limestone			25.50	4.01
VP 13	"			25.10	3.85
VP 16	"			25.10	4.49
VP 17	black micritic dolomite	restricted shelf lagoon	early diagenetic dolomitization	28.44	4.53
VP 21	"			27.79	3.67
VP 32	"			29.28	5.34
VP 39	"			30.04	5.56
<b>8 - 20 Javorjev dol - Žiri area</b>					
Jd 2	black micritic dolomite			27.99	5.59
Jd 7	"			27.01	2.91
Jd 9	"			27.15	3.42
Jd 11	"			28.70	5.30
Jd 17	cellular dolomite			24.47	1.27
Jd 23a	micritic dolomite			30.70	4.48
Jd 24	black biomicritic limestone	restricted shelf, lagoon		24.48	4.70
Jd 27	"			24.65	5.28
Jd 28	"			24.58	3.86
Jd 30	"			24.75	5.32
Jd 32	"			24.81	4.28
Jd 39	sparry dolomite		dedolomite	23.71	0.40
Jd 45	"			25.35	- 0.79
<b>21 - 22 Masore - Idrija</b>					
Ma 35	black biomicritic limestone	lagoon		25.17	5.30
Ma 41	"			24.49	4.88
<b>23 - 33 Tržič - Karavanke Mts.</b>					
Tž 4	black micritic dolomite			25.78	2.41
Tž 5	dolomitic sandstone			24.50	0.12
Tž 11	micritic dolomite			26.68	1.99
Tž 13	cellular dolomite			24.75	- 1.14
Tž 15	"			24.92	1.32
Tž 16	gray micritic dolomite	restricted shelf,	early diagenetic dolomitization	28.77	2.05
Tž 18	cellular dolomite			23.00	- 1.33
Tž 24	gray micritic dolomite	littoral		29.96	5.12
Tž 28c	"			30.55	3.81
Tž 29	"			30.06	4.60
Tž 32	sparry dolomite		late diagenetic dolomitization	26.40	0.76
Tž 34	"			27.28	- 0.13
<b>34 - 35 Češnjica - Trojane</b>					
Če 2	black biomicritic dolomite	lagoon	early dolomitization	27.92	3.04
Tr 12	gray sparry dolomite		late dolomitization	26.11	0.92

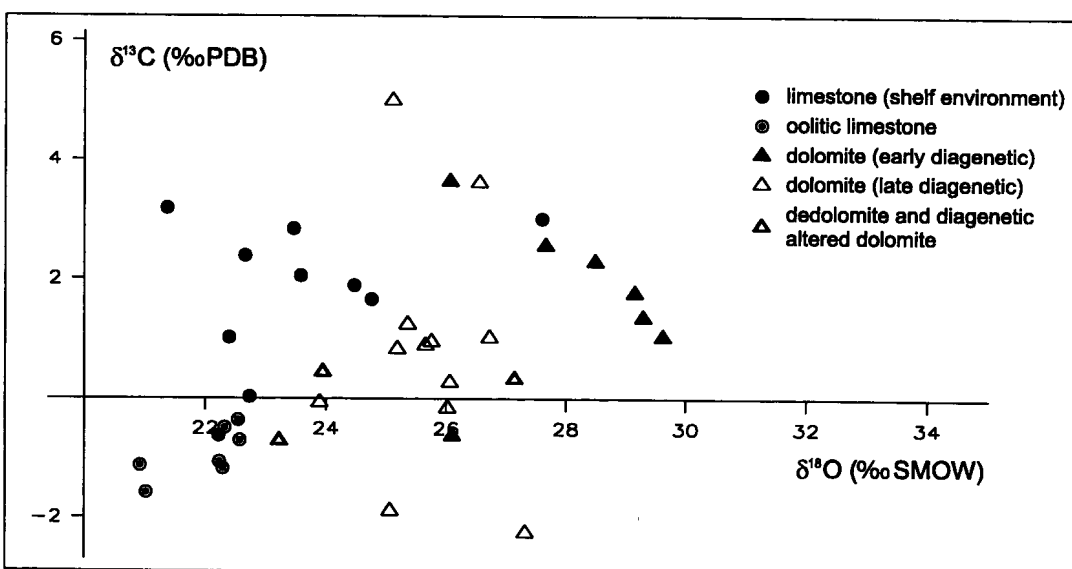
apnenci je razporejenih v zelo ozko polje z vrednostmi med 24,48 in 25,50 ‰ za  $\delta^{13}\text{C}$  in med 3,67 in 5,32 ‰ za  $\delta^{18}\text{O}$  (PDB). Dobljene vrednosti  $\delta^{18}\text{O}$  za biomikritni apnenec so v primerjavi z recentnimi apnenci za okrog 5 % nižje (Faure, 1977), kar kaže, da je najverjetnejše pri postsedimentacijskih procesih prišlo do izotopske izmenjave kisika med raztopinami z manjšo ali večjo vsebnostjo meteorske vode in kisikom iz kamnin. To je povzročilo osiromašenje apnencu s težkim kisikovim izotopom  $\text{O}^{18}$  in seveda ustrezno zmanjšanje vrednosti  $\delta^{18}\text{O}$ , kar seveda onemogoča določitev paleotemperatur v njihovem sedimentacijskem okolju.

Za omenjene apnence, kakor tudi za druge zgornjepermske karbonatne kamnine, je značilna močna obogatitev s težkim ogljikovim izotopom  $^{13}\text{C}$ . Omenjena obogatitev je globalnega značaja in je povezana s takratno izotopsko sestavo ogljika v atmosferskem  $\text{CO}_2$ , ki je posledica povečane sedimentacije in vezave organske snovi v sedimentih v zgornjem paleozoiku (Mägarič & Hollister, 1991).

V primerjavi z apnenci so zgornjepermски dolomiti obogateni s težkim kisikovim izotopom, pri čemer pa je njihova izotopska sestava ogljika podobna kot pri apnencih. Moderni dolomiti iz Arabskega zaliva ima-

jo  $\delta^{18}\text{O}$  približno v območju od +30,4 do +34,3 ‰, medtem ko niha  $\delta^{18}\text{O}$  v dolomitih iz Baffin Bay celo od +34,5 do +35,5 ‰ (Tucker, 1990). Dobljene vrednosti so značilne za nastanek karbonatnih mineralov iz hiperslanih morskih raztopin (Perkins et al., 1994). Izmerjene vrednosti  $\delta^{18}\text{O}$  naših vzorcev so najverjetnejše posledica manjšega dotoka sladke vode v evaporitno okolje in/ali kasnejših postsedimentacijskih procesov. Raziskave karbonatnih kamnin so pokazale, da je njihova izotopska sestava kisika bolj rezultat sprememb v času diageneze in zgodnjega metamorfizma kot izotopska sestava ogljika (Mägarič, 1975, 1983). Zaradi tega je parameter  $\delta^{13}\text{C}$  pomemben paleooceanografski indikator, medtem ko je  $\delta^{18}\text{O}$  le izjemoma.

Drugo skupino 15 vzorcev tvorijo različki zgodnjidiagenetskega dolomita, ki so v območju 25,78 in 30,70 ‰ za  $\delta^{18}\text{O}$  in med 1,99 in 5,56 ‰ za  $\delta^{13}\text{C}$ , s povprečjem okrog 28 ‰ za O in 4 ‰ za C. Obogatitev dolomita s težkim izotopom  $^{18}\text{O}$  za okrog 4 % se približno ujema s teoretskimi podatki za dolomit (Hoefs, 1987) in se sklada tudi z izotopsko sestavo zgornjepermских dolomitovalpskega prostora (Buggisch, 1974; Mägarič & Hollister, 1991). Tretjo skupino pa sestavljajo diagenetsko močno



Sl. 4. Izotopska sestava  $\delta^{18}\text{O}$  in  $\delta^{13}\text{C}$  skitijskih karbonatnih kamnin

Fig. 4. Isotopic composition of  $\delta^{18}\text{O}$  and  $\delta^{13}\text{C}$  for Scythian carbonate rocks

Tabela 2: Sestava stabilnih izotopov, litologija in facies skitijskih karbonatnih kamnin  
 Table 2: Stable isotope composition, lithology and facies of Scythian carbonate rocks

Sample No.	Lithology	Facies	Diagenetic features	$\delta^{18}\text{O}$ ‰ SMOW	$\delta^{13}\text{C}$ ‰ PDB
36 - 37	<b>Idrija - Hg mine</b>				
2 s	micritic dolomite	restricted shelf	dedolomite	27.14	0.33
71 s	sparry dolomite		"	23.94	0.44
38 - 49	<b>Dedek - Polhov Gradec</b>				
De 6	gray sparry dolomite	littoral	late diag.dolomite	26.55	3.60
De 7	"			25.10	4.99
De 13	red oolitic limestone	tidal channels	vadose influence	20.92	- 1.12
De 17	"			22.23	- 1.06
De 19	"			21.02	- 1.58
De 31	gray dolomite	littoral	early diagenetic	28.94	2.28
De 32	"		dolomitization	29.15	1.76
De 39	"	restricted shelf		29.29	1.35
De 44	black micritic limesotne			22.73	0.03
De 49	"			23.45	2.83
De 54	blac marly limestone			27.50	3.00
De 55	gray micritic dolomite			29.62	1.03
50	<b>Mladi vrh near Blegoš</b>				
R 201	micritic dolomite	lagoon	early dolomitization	26.06	3.62
51 - 66	<b>Tržič - Karavanke Mts.</b>				
Tž 40	biomicritic limestone	restricted shelf & terestic influence		22.65	2.38
Tž 41	"			21.36	3.17
Tž 51	"			22.39	1.02
Tž 60	red oolitic limestone	tidal channels, littoral	vadose influence & hematite	22.32	- 0.49
Tž 68	"			22.54	- 0.36
Tž 71	"			22.57	- 0.70
Tž 72	micritic limestone	carbonate clastic environment,		22.22	- 0.62
Tž 80a	sandstone	shelf		24.75	1.66
Tž 80e	red oolitic limestone		vadose	22.29	- 1.17
Tž 80f	sparry dolomite		environemnt	27.32	- 2.25
Tž 82	micritic dolomite		influence	26.02	- 0.16
Tž 85	sparry limestone			26.10	- 0.62
Tž 86	"			25.07	- 1.90
Tž 91	micritic dolomite	restricted shelf		27.66	2.55
Tž 99	biomicritic limestone			24.46	1.89
Tž 100	"			23.57	2.05
67 - 69	<b>Ledina - Pb-Zn mine near Sevnica</b>				
L 2	sparry oolitic dolomite	littoral, shelf	late diagenetic dolomitization	26.06	0.27
L 5	"			25.18	0.83
L 11	"			23.89	- 0.07
70 - 74	<b>Bohor - Pb-Zn mine</b>				
B 5	gray sparry dolomite	restricted shelf	late diagenetic dolomitization	26.72	0.27
B 6	"			25.75	0.95
B 8	"			25.65	0.89
B 72	"			25.35	1.24
B 90	"		dedolomite	23.22	- 0.71

spremenjeni dolomiti - kasnodiagenetski zrnati dolomit ter celični dolomit. Za to skupino sta značilna tako lahka sestava  $\delta^{18}\text{O}$  (23,0 do 27,28 ‰ SMOW) kot  $\delta^{13}\text{C}$  (-1,33 do +1,27 ‰ PDB).

Posebno poglavje o izotopski sestavi karbonatnih kamnin pa predstavljajo apnenci in dolomiti na prehodu iz perma v skitij. Na P/T meji naj bi prišlo do drastične obogativte z lahkim izotopom  $\delta^{13}\text{C}$  (tudi do 6 ‰ in več) ter malenkostno tudi z  $\delta^{18}\text{O}$ , kot posledico globalnih sprememb klime na celotnem planetu (M a g a r i t z et al., 1992; W a n g et al., 1994; F a u r e et al., 1995). Te spremembe v izotopski sestavi karbonatov na P/T meji so v zadnjih letih bile ugotovljene tudi na slovenskem prostoru, tako v Karavankah (D o l e n e c et al. 1995a, 1998) kot tudi v dolini Idrije (D o l e n e c & R a m o v š 1998; D o l e n e c et al., 1999a, b). Drastična sprememba izotopske sestave ogljika na prehodu iz perma v trias je najverjetneje posledica globalne zgornje-permske regresije. Ta je povzročila povečano erozijo in oksidacijo organskih komponent v sedimentih izpostavljenih preperevanju. Posledica regresije je bilo tudi uničenje terestičnih in morskih ekosistemov in povečan fluks izotopsko lažjega  $\text{CO}_2$  v atmosfero (B e u k e s et al., 1990; M a g a r i t z & H o l s e r , 1991; F a u r e

et al., 1995). Ta se je uravnotežil z oceansko vodo, kar je imelo za posledico tudi nastanek karbonatnih kamnin, obogatenih z lahkim ogljikovim izotopom  $^{12}\text{C}$ .

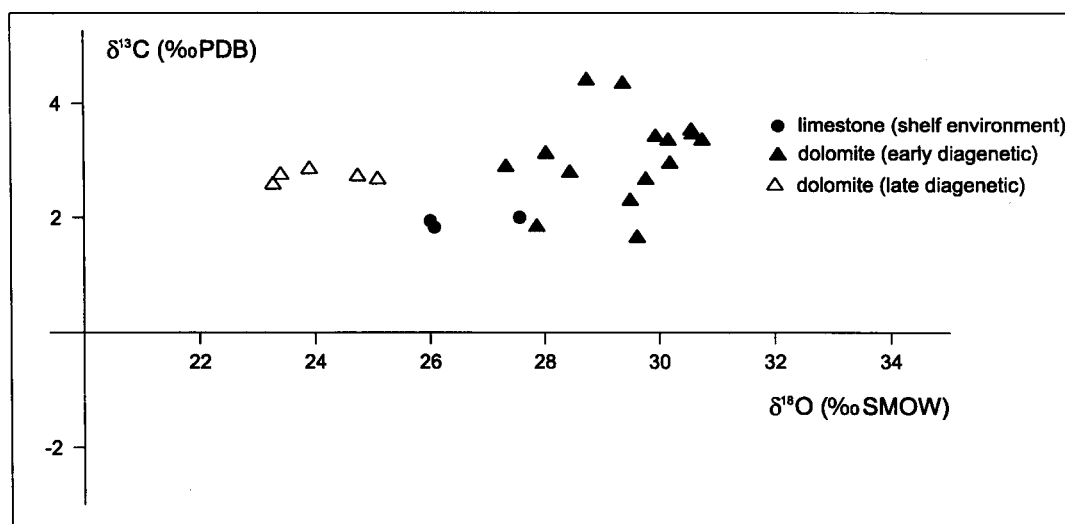
## TRIAS

### Skitij

Za razvoj skitijskih plasti v slovenskem prostoru je značilno menjavanje klastičnih in karbonatnih kamnin, med katerimi so zastopani tako apnenci kot tudi dolomiti. Vsi sedimenti so se odlagali na zelo plitvem in dokaj mirnem shelfu, za klastite pa domnevamo, da so produkt eolskih procesov. Slednje sestavljajo pretežno laporji in droboznrati muljevci s karbonatnim vezivom.

V okviru izotopske študije smo raziskali 38 vzorcev apnencev in dolomita iz Karavank (profil Tržič-Lom pod Storžičem; D o l e n e c et al., 1981), žirovskega ozemja (profil Dedjek pri Polhovem Gradcu; G r a d & O g o r e l e c, 1980), idrijskega rudnika (Č a r et al., 1980) ter iz Pb-Zn rudišč v vzhodnih Posavskih gubah (Ledina pri Sevnici, Bohor).

Izotopska sestava raziskanih vzorcev je podana v tabeli 2 in na sliki 4. Raziskane vzorce smo razdelili v štiri skupine. Deset



Sl. 5. Izotopska sestava  $\delta^{18}\text{O}$  in  $\delta^{13}\text{C}$  anizijskih apnencev in dolomitov

Fig. 5. Isotopic composition of  $\delta^{18}\text{O}$  and  $\delta^{13}\text{C}$  for Anisian limestones and dolomites

Tabela 3: Sestava stabilnih izotopov, litologija in facies anizijskih apnencev in dolomitov  
 Table 3: Stable isotope composition, lithology and facies of Anisian limestones and dolomites

Sample No.	Lithology	Facies	Diagenetic features	$\delta^{18}\text{O}$ ‰ SMOW	$\delta^{13}\text{C}$ ‰ PDB
<b>75 - 81 Todraž near Gorenja vas</b>					
P 3-5,5m	micritic dolomite			29.93	3.40
P 30m	"			30.55	3.51
P 51m	"			30.57	3.44
P 73m	"			30.15	3.33
P 98m	"			30.74	3.33
P 132m	"			28.44	2.77
P 190m	"			29.61	1.64
<b>82 - 83 Mladi vrh near Blegoš</b>					
B1 203	micritic dolomite	restricted shelf	early diagenetic dolomitization	28.73	4.39
B1 212	"			29.49	2.28
<b>84 - 86 Zagorje - Kisovec</b>					
Za 2	micritic dolomite	restricted shelf	early diagenetic dolomitization	30.18	2.93
Za 7	stromatolitic dolomite			29.76	2.65
Za 14	" (loferite)	littoral		29.36	4.33
<b>87 - 89 Bled - Grad</b>					
Bg 1	algal limestone			26.07	1.83
Bg 2	"			27.56	2.00
Bg 10b	"	reef	recrystallization	20.00	1.94
<b>90 - 92 Tržič</b>					
Tž 108	micritic dolomite		early diagenetic dolomitization	27.86	1.83
Tž 112	"			28.02	3.10
Tž 115	" (loferite)	shelf, littoral		27.32	2.87
<b>93 - 97 Topla Pb-Zn mine, Mežica</b>					
B 1	sparry dolomite			23.39	2.74
B 2	"			23.89	2.84
B 5	"			23.26	2.57
B 16	"	restricted shelf, lagoon	late diagenetic dolomitization	24.73	2.72
B 20	"			25.08	2.66

vzrocev pripada temnemu biomikritnemu in rahlo lapornatemu apnencu s povišanim deležem organske snovi (wackestone, packstone, fosili foraminifera Meandrospira pusilla Ho). Ti imajo sestavo  $\delta^{18}\text{O}$  v razponu med 21,36 in 24,46 ‰ z izjemo enega vzorca, ki ima vrednost  $\delta^{18}\text{O}$  27,60 ‰, delež  $\delta^{13}\text{C}$  pa se jim giblje med - 0,62 in + 3,17 ‰ PDB. Poseben tip apnencev je **gastropodni biosparit**, značilen za skitijsko zaporedje (tab. 1. sl. 3).

Drugo skupino predstavlja **mikritni zgodnjidiagenski dolomit**, ki je koncentriran v polju za  $\delta^{18}\text{O}$  med 27,66 in 29,62 ‰ ter  $\delta^{13}\text{C}$  med 0,62 in 3,62 ‰ PDB. Izjema je zopet en vzorec z vrednostmi 26,02 ‰ za  $\delta^{18}\text{O}$  in - 0,16 ‰ za  $\delta^{13}\text{C}$ . Nizka vrednost  $^{13}\text{C}$  pri tem vzorcu je pogojena z vplivom vadozen cementacije v kasnejši diagenesi. Tretji skupini pripadajo vzorci **kasnodiagenskega zrnatega dolomita** in dedolomita, ki so v primerjavi z zgodnjidiagenskim dolomi-

tom obogateni z lahkim izotopoma  $\delta^{18}\text{O}$  (23,22 do 27,32 ‰ in  $\delta^{13}\text{C}$  (-2,25 do +4,99 ‰ s povprečjem okrog +0,5 ‰ PDB).

Posebno skupino v skitijskem zaporedju pa predstavlja **oolitni apnenec**, ki je zaradi hematitnega pigmenta obarvan rdečkasto in je stratigrafsko značilen litološki tip (tab. 1, sl. 4). Sedem vzorcev oolitnega apnenca je koncentriranih v ozkem polju, za katerega je značilna sestava lahkega izotopa tako kisika ( $\delta^{18}\text{O}$  je med 20,92 in 22,57 ‰) kakor tudi ogljika ( $\delta^{13}\text{C}$  je med -1,58 in -0,36 ‰ PDB). Lahko sestavo obeh iztopov povezujemo z diagenetskimi procesi v vadznom okolju (Dolenec et al., 1981).

### Anizij

Anizijske plasti so v Sloveniji razvite pretežno kot plastovit dolomit, le mestoma kot apnenec (vzoreci 75-97, sl. 2, tabela 3). Tak primer je npr. **masivni grebenski oziroma aljni apnenec**, ki gradi steno Blejskega gradu (Fügle et al., 1993) in iz katerega smo raziskali tri vzorce. Ti so zgoščeni v polje med 26 in 28 ‰ SMOW za  $\delta^{18}\text{O}$  in okrog +2 ‰ PDB za  $\delta^{13}\text{C}$  (tabela 3, sl. 5).

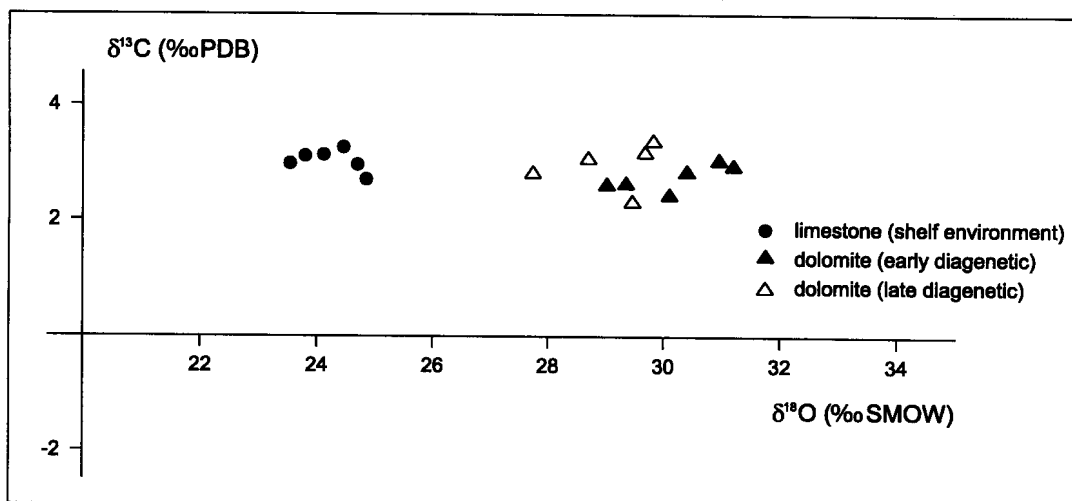
Večina raziskanih vzorcev anizijskih karbonatnih kamnin pripada **zgodnjediagenetskemu dolomitu**, največkrat mikritne-

mu in stromatolitnemu tipu plitvodavnega in litoralnega okolja (tab. 1, sl. 6). Raziskan je bil v Posavskih gubah, na žirovskem ozemlju in v Karavankah. Dolomit je rahlo obogaten s težkim kisikovim izotopom.  $\delta^{18}\text{O}$  se mu giblje v razponu med 26,07 in 30,58 ‰ SMOW,  $\delta^{13}\text{C}$  pa med 1,64 in 4,39 ‰ PDB, kar približno sovpada z zgornjepermškim dolomitom.

Tretjo skupino raziskanih anizijskih vzorcev pa sestavlja pet vzorcev **kasnodiagenetskega zrnatega dolomita** iz Pb-Zn rudišča Topla pri Mežici (Štruc et al. 1974; Dolenec et al. 1990). Ta dolomit je za razliko od zgodnjidiagenetskega obogaten z lahkim kisikovim izotopom.  $\delta^{18}\text{O}$  se mu giblje med 23,39 in 25,08 ‰, kar je približno za 4 do 5 ‰ manj od prvega, medtem ko je izotopska sestava  $\delta^{13}\text{C}$  enaka za oba struktura tipa, okrog 2,5 ‰ PDB.

### Ladinij

Za ladinijsko obdobje je značilno, da je bila na slovenskem prostoru takrat dokajšnja tektonska aktivnost. Rezultat le te so številne predornnine in njihovi tufi. Karbonatni sedimenti so zato v tej geološki dobi manj številni. Še največji obseg imata wettersteinski apnenec in dolomit, ki sta



Sl. 6. Izotopska sestava  $\delta^{18}\text{O}$  in  $\delta^{13}\text{C}$  ladinijskih apnencev in dolomitov iz Pb-Zn rudišča Mežica

Fig. 6. Isotopic composition of  $\delta^{18}\text{O}$  and  $\delta^{13}\text{C}$  for Ladinian limesstones and dolomites from the Mežica Pb-Zn mine

Tabela 4: Sestava stabilnih izotopov, litologija in facies wettersteinskega apnenca in dolomita iz Mežice  
 Table 4: Stable isotope composition, lithology and facies of Wetterstein limestone and dolomite form the  
 Mežica Pb-Zn mine

Sample No.	Lithology	Facies	Diagnostic features	$\delta^{18}\text{O}$ ‰ SMOW	$\delta^{13}\text{C}$ ‰ PDB
<b>98 - 114 Mežica Pb-Zn mine, Graben (8<sup>th</sup> level)*</b>					
Profile GA-8					
95 m	biosparitic limestone			gentle recrystallization of limestone	24.12
100 m	"				3.12
105 m	coral biolitite				3.10
110 m	biosparitic limestone	reef and open shelf			2.97
120 m	"				2.70
130 m	biomicritic limestone				3.25
135 m	micritic dolomite				2.95
145 m	"				2.60
150 m	spary dolomite				2.42
160 m	"	restricted shelf and lagoon			2.80
195 m	micritic dolomite				3.15
200 m	dolomitic breccia				2.92
205 m	"				2.82
210 m	spary dolomite				3.02
225 m	"				3.35
230 m	"				2.30
240 m	micritic dolomite				2.35
250 m	spary dolomite				2.62
					3.05

\*Data from Dolenc et al., 1993 a

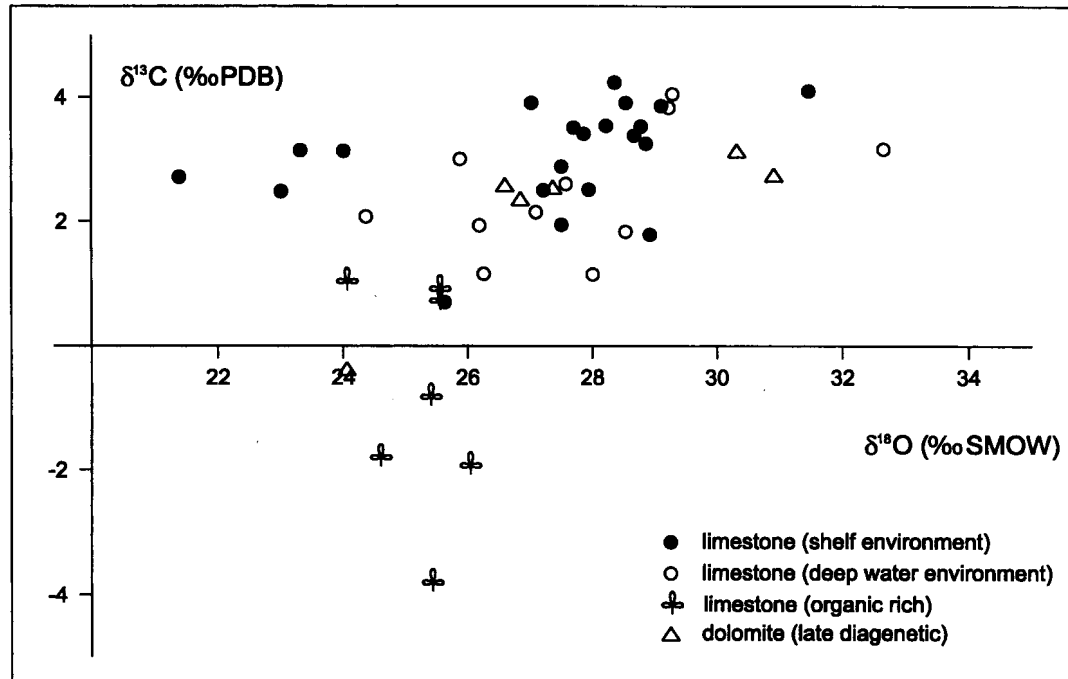
razvita predvsem v Savinjskih Alpah in severno of Periadriatskega šiva, na širšem ozemlju Pece, Mežice in Uršlje gore.

Karbonatno wettersteinsko formacijo smo z 18 vzorci raziskali na 8. obzorju svinčevo-cinkovega rudišča Mežica, v revirju Graben (Dolenc et al., 1993a, c; sl. 2 in 6, tabela 4, vzorci 98-115). Šest vzorcev svetlega masivnega **biosparitnega in biomikritnega apnenca** grebenskega okolja ima izotopsko sestavo  $\delta^{18}\text{O}$  zelo enotno, v razponu med 23,54 in 24,85 ‰ SMOW,  $\delta^{13}\text{C}$  pa prav tako enotno, s povprečjem okrog +3,20 PDB. Tudi izotopska sestava temnega, rahlo bituminoznega in ploščastega **biomikritnega dolomita**, ki je nastal z zgodnjediagenetsko dolomitizacijo v lagunskem in litoralnem okolju, je precej enotna. 12 raziskanih vzorcev je glede na apnenec obogatenih s težkim izotopom kisika za okrog 5 %. Tako imajo ti  $\delta^{18}\text{O}$  v območju med 27,74 in 31,20 ‰ SMOW,  $\delta^{13}\text{C}$  pa med 2,42 in 3,35 ‰ PDB.

## Karnij

Karnijski karbonatni sedimenti so se v slovenskem prostoru odlagali in litificirali v različnih okoljih. Tako poznamo plitvoodni, grebenski ter globjevodni razvoj in sicer v obeh, apnenčevi in dolomitni varianti. Skupno smo iz karnijskega zaporedja raziskali 46 vzorcev (tabela 5, sl. 2 in 7).

Raziskane vzorce smo po faciesu razdelili v pet skupin. Prvo skupino 16 vzorcev sestavlja temnejši in rahlo lapornat **biomikritni apnenec** (tab. 2, sl. 1), ki se je odlagal v zaprtih delih plitvovodnega šelfa in v lagunah (vzorci iz profilov Tamar in Log pod Mangartom - Ogorlec et al., 1984) ter nekateri vzorci iz Drenovega griča. Ti imajo izotopsko sestavo značilno za normalne apnenec,  $\delta^{18}\text{O}$  v razponu med 25,56 in 29,12 ‰,  $\delta^{13}\text{C}$  pa med 0,72 in 3,87 ‰ s povprečjem okrog 3 ‰ PDB. Skoraj v isto polje padajo tudi temni **biomikritni apnenci** julsko-tu-



Sl. 7. Izotopska sestava  $\delta^{18}\text{O}$  in  $\delta^{13}\text{C}$  karnijskih karbonatnih kamnin  
Fig. 7. Isotopic composition of  $\delta^{18}\text{O}$  and  $\delta^{13}\text{C}$  for Carnian carbonate rocks

valske starosti iz Belce (vzorci 144–151, sl. 2), iz Kozje dnine pod Triglavom in Vršiča (J u r k o v š e k et al., 1984), ki so se odlagali v globlju in zelo mirnem okolju z rahlo redukcijskimi pogoji v času sedimentacije. Njihova sestava  $\delta^{18}\text{O}$  je bila izmerjena v območju med 24,37 in 28,54 ‰, delež  $\delta^{13}\text{C}$  pa med 1,14 in 3,90 ‰ PDB.

Podobno skupino med apnenci grade širje vzorci biomikritnega apnence točneje **spongijskega biolitita** (tab. 2, sl. 2), ki gradi manjše grebenske kopuče v Hudajužni pri Podbrdu (T u r n š e k et al., 1982). Ti vzorci imajo v povprečju za 5 ‰ lažjo izotopsko sestavo  $\delta^{18}\text{O}$  od ostalih karnijskih apnencov, kar lahko povezujemo s kasnejšo izotopsko izmenjavo z raztopinami, osiromašenimi s težkim kisikovim izotopom v primerjavi z morsko vodo.

Cetrtu skupino raziskanih karnijskih karbonatov predstavljajo črni, rahlo **bituminozni biomikritni apnenci**, ki so se odlagali v lagunah in delih zaprtega šelfa in vsebujejo do 2 % organske snovi (O g o r e l e c et al., 1996). Taki so apnenci iz karnoloma Drenov grič (J e l e n, 1988/89;

D o l e n e c & J e l e n, 1987). Njihova značilnost je, da so glede na ostale apnence obogateni z lahkim izotopom ogljika.  $\delta^{13}\text{C}$  imajo je v območju med -3,80 in +0,91 PDB, izotopsko sestava  $\delta^{18}\text{O}$  pa med 24 in 26 ‰ SMOW. Obogatitev z lahkim izotopom ogljika je rezultat povišane vsebnosti lahkega organskega ogljika v sedimentacijskem okolju.

Zadnji skupini karnijskih apnencov priпадajo trije vzorci svetlega kasnodiagenetskega **zrnatega dolomita** cordevolske starosti (vzorci 125 – 127, sl. 2), v katerem pravtina struktura kamnine ni več ohranjena. Odvzeli smo jih v Suhem dolu pri Lučinah. Njihova sestava  $\delta^{18}\text{O}$  se giblje okrog 27 ‰,  $\delta^{13}\text{C}$  pa okrog 2,5 ‰, kar približno sovpada s kasnodiagenetskimi dolomitnimi vzorci zgornjepermske, skitijske in norijsko-retijske starosti.

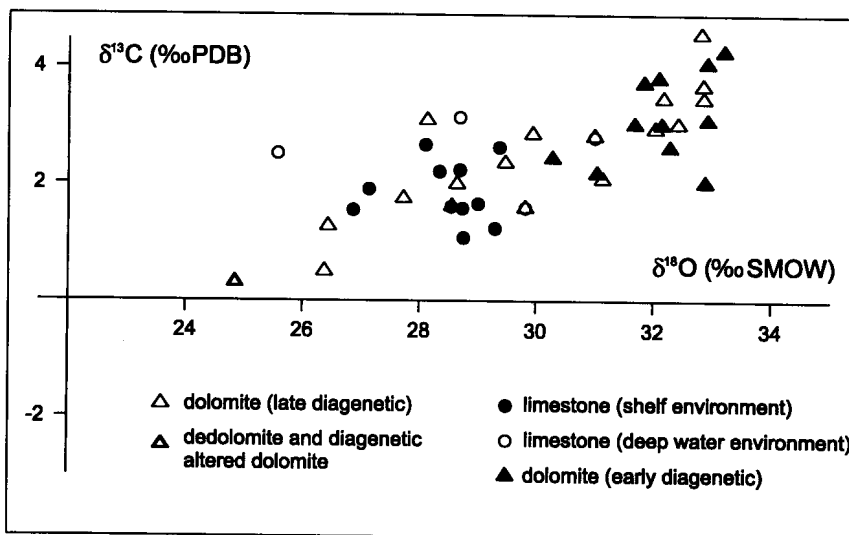
### Norij in retij

Kamnine norijsko-retijske stopnje so na celotnem ozemlju Slovenije razvite karbo-

Tabela 5: Sestava stabilnih izotopov, litologija in facies karnijskih karbonatnih kamnin  
 Table 5: Stable isotope composition, lithology and facies of Carnian carbonate rocks

Sample No.	Lithology	Facies	Diagenetic features	$\delta^{18}\text{O}$ ‰ SMOW	$\delta^{13}\text{C}$ ‰ PDB
116 - 124	Drenov grič (Julian & Tuvalian)				
Dg 6m	black micritic limestone			25.63	0.70
Dg 13m	"			25.41	- 0.82
Dg 22m	"			25.43	- 3.80
GR 3b*	black bitumin. limestone	restricted shelf, lagoon		25.56	0.91
VČK 43*	"	organic rich sediment		24.60	- 1.80
ZČK 13*	"			26.04	- 1.93
VČK 44a*	"			25.56	0.72
VČK 44b*	"			24.07	1.03
PU 10b*	black marl			28.93	1.78
125 - 127	Suh dol near Lučine (Cordevolian)				
Sd 1	white sparry dolomite	reef	late diagenetic dolomitization	26.85	2.32
Sd 4	"			26.60	2.54
Sd 11	"			27.37	2.50
128	Jablanica - Litija (Cordevolian)				
Ja 2	sparry dolomite	reef	late dolomite	30.92	2.70
128 - 134	Tamar (Julian & Tuvalian)				
T 1	gray sparry dolomite			34.57	3.06
T 11	black biomicritic limestone	restricted shelf		29.12	3.85
T 34	"	lagoon,		28.79	3.52
T 41	black biomicritic limestone	littoral		31.48	4.09
T 44	"			28.68	3.37
T 54	"			28.87	3.24
135 - 138	Log pod Mangartom				
LM 3	black biomicritic limestone			28.55	3.90
LM 10	"	restricted shelf,		28.37	4.23
LM 18	"	lagoon		27.87	3.40
LM 36	"			28.23	3.53
139 - 143	Hudajužna (Julian & Tuvalian)				
Hj 62b	limestone			21.39	2.70
Hj 62g	"	reef		23.01	2.47
Hj 62d	dolomite			24.06	- 0.40
Hj 70	limestone			24.01	3.12
Hj 71	"		late dolomitization	23.32	3.13
144 - 151	Belca - Karavanke Mts. (Julian & Tuvalian)				
Bc 1b	black micritic dolomite			27.10	2.14
Bc 5c	black micritic limestone			27.22	2.49
Bc 6b	black micritic dolomite	deep water environment		26.19	1.93
Bc 9	black micritic limestone			27.95	2.50
Bc 10a	black micritic limestone			27.71	3.50
Bc 11a	"			27.51	1.94
Bc 13	"			27.51	2.87
Bc 15	"			27.03	3.90
152 - 155	Koža dnina - Julian Alps (Julian & Tuvalian)				
KzD 1	biomicritic limestone	restricted shelf,		28.01	1.14
KzD 2	"	deeper envir.		25.88	2.99
KzD 3	"			28.54	1.83
156 - 157	Porezen				
19081	black limestone			24.37	2.07
19082	black carbonate shist	deep water environment		26.26	1.15
158 - 162	Vršič - Julian Alps (Julian & Tuvalian)				
V 3c	dark biomicritic limestone			32.67	3.15
V 9a	"			29.24	3.82
V 21	"			29.30	4.04
V 38	dolomite	deep water environment		30.33	3.09
V 53	biomicritic dolomite			27.58	2.59

\* Data from Dolenc & Jelen 1987



Sl. 8. Izotopska sestava  $\delta^{18}\text{O}$  in  $\delta^{13}\text{C}$  v raziskanih vzorcih glavnega dolomita, dachsteinskega apnenca in baškega dolomita

Fig. 8. Isotopic composition of  $\delta^{18}\text{O}$  and  $\delta^{13}\text{C}$  for Main dolomite, Dachstein limestone and Bača dolomite samples

natno, na Dinarski platformi prevsem kot do 1200 metrov debela skladovnica glavnega dolomita, na Julijskih karbonatnih platformi pa kot debeloplastovit dachsteinski apnenec z redkimi vmesnimi grebenškimi masivi (sl. 2). V Slovenskem jarku pa sta istočasno nastajala Baški dolomit in Železnikarski apnenec, oba z gomolji roženca.

Glavni dolomit se je odlagal v zelo plitvem okolju zaprtega šelfa, kjer so se menjavale med- in nadplimske sedimentacijske razmere z podplimskimi, kar je pogojevalo nastanek ciklotem. Dachsteinski apnenec predstavlja lateralni razvoj glavnega dolomita in je ohranjen le tam, kjer apnenec ni zajela kasnodiagenetska dolomitizacija in ga rekristaliziral v sparitni dolomit.

Štirideset raziskanih vzorcev norijsko-retijske starosti smo razdelili v pet skupin (vzorci 163 - 204, sl. 2 in 8, tabela 6). Dachsteinski apnenec smo raziskali na Trnovskem gozdu in pri Borovnici (Ogorle & Rother, 1993). Ne glede na to, ali gre pri strukturi za **biomikritni, biosparitni ali oolitni tip apnenca** (tab. 2, sl. 2), pada 11 vzorcev v dokaj zgoščeno polje (sl. 8), ki ga za  $\delta^{18}\text{O}$  opredeljujejo vrednosti med 28,11 in 29,38 ‰ SMOW. Na osnovi teh podatkov

predvidevamo temperaturo morja v času nastajanja dachsteinskega apnenca okrog 24°C. Rahlo nižje vsebnosti  $\delta^{18}\text{O}$  (okrog 27 ‰ SMOW) kaže dva vzorca oosparitnega apnenca. Posebno znižanje  $\delta^{13}\text{C}$  (-1,92 in -1,65 ‰ PDB) pa kaže dva vzorca gravitacijskega cementa (tab. 3, sl. 3) v izsušitvenih porah loferitnega tipa apnenca, po katerem sklepamo na meteorski vpliv v času zgodnje diageneze.

Drugo in tretjo skupino sestavljajo različni tipi **glavnega dolomita**, ki je bil prav tako raziskan s profili na Trnovskem gozdu in pri Borovnici (vzorci 175-192, sl. 2, tabela 6).

Med raziskanimi različki dolomita prevladuje stromatolitni in loferitni tip (tab. 2, sl. 4 in 5), ki sta z ohranjeno prvotno strukturo kamnine značilna za zgodnjediagenetsko dolomitizacijo v medplimskem litoralnem okolju in sabkah. 11 teh vzorcev je glede na dachsteinski apnenec za 3 do 4 ‰ obogatenih s težkim izotopom kisika, ki nima med 30,29 in 33,20 ‰ SMOW. Dobljene vrednosti za  $\delta^{18}\text{O}$  so podobne kot za dolomite iz recentnih evaporitnih okolij. Tudi vsebnost  $\delta^{13}\text{C}$  je pri teh vzorcih v poprečju za kakšen ‰ višja kot pri dachsteinskem apnenecu in znaša med 2 in 4 ‰ PDB. Ti po-

Tabela 6: Sestava stabilnih izotopov, litologija in facies ter diagenetske značilnosti glavnega dolomita, dachsteinskega apnena in baškega dolomita

Table 6: Stable isotope composition, lithology, facies and diagenetic features of Main dolomite, Dachstein limestone and Bača dolomite

Sample No.	Lithology	Facies	Diagenetic features	$\delta^{18}\text{O}$ ‰ SMOW	$\delta^{13}\text{C}$ ‰ PDB
<b>A. DINARIC CARBONATE PLATFORM</b>					
<b>DACHSTEIN LIMESTONE</b>					
163 - 174	Trnovski gozd (T), Borovnica (B)				
T II 6*	oolitic limestone	open shallow shelf		27.14	1.90
T II 8*	calcite(solution cavity)			28.35	2.20
T II 37*	biomicritic limestone			28.11	2.66
T IV 8*	"			29.38	2.62
T IV 13*	"			28.76	1.07
T IV 17b*	calcite(solution cavity)	shelf & littoral		28.55	1.60
T V 4*	biomicritic limestone			29.01	1.65
T V 15*	"			28.74	1.57
T V 14*	oolitic limestone			26.87	1.54
B I 10*	biomicritic limestone			29.30	1.23
B I 47*	"			28.70	2.23
<b>MAIN DOLOMITE (HAUPTDOLOMIT)</b>					
175 - 192	Čapovan (TII,TIII), Trnovski gozd (TII,TV), - Borovnica (BII)				
T I 7*	stromatolitic dolomite		early diagenetic dolomitization	32.15	3.00
T I 10*	"			31.85	3.72
T I 16	spary dolomite			32.43	3.01
T III 20*	micritic dolomite			32.93	3.07
T III 23	"			32.89	2.01
T III 26				32.92	4.05
T III 30*	stromatolitic dolomite			32.35	3.90
T III 33	spary dolomite			32.81	4.56
T III 48	"			32.85	3.67
T III 54				32.18	3.46
T III 59	"			32.86	3.45
B II 9*	micritic dolomite		early diagenetic dolomitization	33.20	4.26
B II 16*	"			32.10	3.80
B II 33				31.69	3.01
B II 38	"			31.05	2.17
T II 45				30.29	2.43
B II 52	"			32.29	2.61
T V 19*	spary dolomite		dedolomite	24.85	0.30
<b>B. DEEP WATER ENVIRONMENT (SLOVENIAN TROUGH)</b>					
190 - 192	Cimrovka near Čerkno (Bača dolomite)				
Ba 35	spary dolomite	deep water environment	late diagenetic dolomitization	32.04	2.93
Ba 36	"			31.01	2.81
Ba 41	"			29.48	2.35
193 - 197	Zakočja (Bača dolomite)				
Zkc 1	micritic dolomite			27.73	1.74
Zkc 2	"			26.44	1.26
Zkc 3	"			26.38	0.49
Zkc 4a	dark spary dolomite			28.56	1.61
Zkc 4b	"			28.65	1.99
198 - 199	Blegoš (Bača dolomite)				
127	spary dolomite			28.14	3.08
129	"			29.95	2.85
200 - 201	Zatolminka near Tolmin				
Ba 1	micritic limestone			29.82	1.58
Ba 2	micritic dolomite			31.14	2.07
202 - 204	Železniki (Železniki limestone)				
Žel 1	gray micritic limestone			28.70	3.13
Žel 2	"			25.58	2.51
Žel 3	"			31.01	2.79

\* Data, measured in Geochemical Institute of University Göttingen (Prof. dr. J. Hoefs)

/from: Ogorelec & Rothe, 1993/

datki se lepo ujemajo z rezultati enako starega dachsteinskega apnenca in glavnega dolomita Severnih Alp, ki so ju raziskovali Fabričius s sodelavci (1970) in Gökdag (1974).

Zanimivo je, da pada v isto polje, kot ga sestavljajo vzorci zgodnjediagenetskega dolomita tudi 8 različkov *kasnodiagenetskega zrnatega dolomita* (sl. 8; tab. 2, sl. 6). Na podlagi tega sklepamo, da se temperatura in izotopska sestava raztopin, ki so povzročile poznodiagenetsko dolomitizacijo v tem primeru najverjetneje ni bistveno razlikovala od raztopin (morske vode) v evaporitnem okolju, kjer je nastajal zgodnjediagenetski dolomit.

Poseben primer je le en raziskan vzorec **dedolomita** iz Smrekove drage na Trnovskem gozdu. Značilna za ta vzorec sta lahka izotopska sestava tako kisika ( $\delta^{18}\text{O}$  je 24,85 ‰ SMOW) kot ogljika ( $\delta^{13}\text{C}$  je 0,30 ‰ PDB), ki kaže na dedolomitizacijo pod vplivom raztopin z dominantno količino meteorske vode.

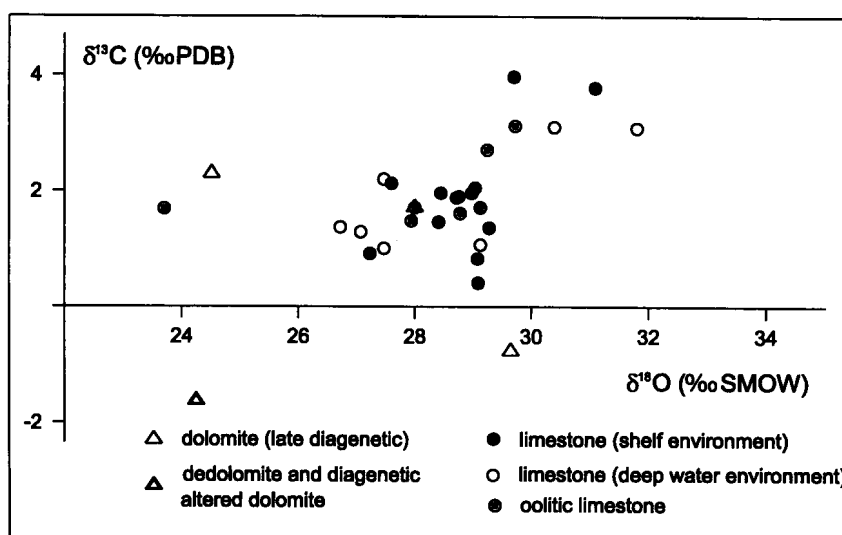
Zadnjo skupino norijsko-retijskih kamnin sestavlja facies **zrnatega dolomita z gomolji roženca**, ki se je odlagal v globjevodenem okolju Slovenskega jarka (Baški do-

lomit; sl. 2 in tabela 6, vz. 190-201) ter njegevega časovnega ekvivalenta Železnikarskega apnenca (vzorci 202-204). Ti vzorci kasnodiagenetskega dolomita kažejo v primerjavi z glavnim dolomitom v povprečju lažjo sestavo tako kisika ( $\delta^{18}\text{O}$  med 26,24 in 31,14 ‰ SMOW) kot nekoliko tudi ogljika ( $\delta^{13}\text{C}$  med 0,49 in 2,93 ‰ s povprečjem okrog 2 ‰ PDB).

## JURA

Tudi kamnine jurskega obdobja so na celotnem prostoru Slovenije razvite karbonatno (sl. 2), sicer pa se je sedimentacija tako kot v zgornjem triasu nadaljevala na obeh, Dinarski in Julski karbonatni plošči ter v vmesnem jarku. Že koncem liasa pa je razpadla Julska plošča, tako da je globje more preplavilo večji del Alp in Karavank.

Apnenčeve plasti smo s profili raziskali na Trnovskem gozdu (Orehelk & Orellec, 1979) in pri Vrhniki. Liasne in doggerske kamnine so večji del razvite kot svetli in debeloplastoviti oolitni, biosparitni in biomikritni, mestoma tudi onkoidni apnenci (tab. 3, sl. 1,2) plitvega odprtrega šelfa, ki pa jih je mestoma zajela kasnodiagenetska do-



Sl. 9. Izotopska sestava  $\delta^{18}\text{O}$  in  $\delta^{13}\text{C}$  jurskih karbonatnih kamnin plitvo- in globjevodnega okolja

Fig. 9. Isotopic composition of  $\delta^{18}\text{O}$  and  $\delta^{13}\text{C}$  for Jurassic carbonate rocks of shallow- and deep-water environment

Tabela 7: Sestava stabilnih izotopov, litologija in facies jurskih karbonatnih kamnin  
 Table 7: Stable isotope composition, lithology and facies of Jurassic carbonate rocks

Sample No.	Lithology	Facies	Diagenetic features	$\delta^{18}\text{O}$ ‰ SMOW	$\delta^{13}\text{C}$ ‰ PDB		
<b>A. DINARIC CARBONATE PLATFORM</b>							
<b>204 - 213 Trnovski gozd</b>							
TrG 3	spary dolomite	littoral	early diagenetic dolomitization	28.00	1.71		
TrG 5	oolitic limestone			28.78	1.61		
TrG 26	"			28.00	1.71		
TrG 31a	"			28.70	1.69		
TrG 46	spary dolomite	open shallow shelf	vadose influence	24.51	2.29		
TrG 59	biomicritic limestone			29.09	0.41		
TrG 72	"			27.60	2.13		
TrG 107	oolitic limestone			29.73	3.11		
TrG 118	biomicritic limestone			31.10	3.77		
TrG 159	"			29.08	0.83		
<b>214 - 221 Vrhnika</b>							
Vr 5	pelmicritic limestone	open shelf, oolitic shoals		28.45	1.96		
Vr 35	oolitic limestone			27.94	1.48		
Vr 40	"			29.13	1.71		
Vr 51	"			28.76	1.90		
Vr 114	biosparitic limestone			27.23	0.92		
Vr 132	oolitic limestone			29.25	2.70		
Vr 139	"			28.72	1.88		
Vr 149	oncoidal limestone			28.98	1.96		
Vr 165	biopelmicritic limestone			29.04	2.05		
<b>222 - 226 Jelenov žleb</b>							
Mz 79/1	spary dolomite	restricted shelf	dedolomite	24.25	- 1.62		
Mz 79/3	micritic limestone			29.28	1.36		
Mz 79/15	"			28.41	1.46		
Mz 79/16	spary dolomite		late dolomitization	29.65	- 0.76		
Mz 79/49	biosparitic limestone			29.71	3.96		
<b>B. DEEP WATER ENVIRONMENT (Slovenian trough)</b>							
<b>227 - 229 Blegoš</b>							
140	dark limestone	deep water environment		26.72	1.37		
141	"			27.07	1.29		
<b>230 - 232 Mangart</b>							
Mg 9d	dark micritic limestone	deep water environment		27.47	1.01		
Mg 9m	marly limestone			31.81	3.07		
Mg 21b	dark limestone			27.47	2.20		
<b>233 Polovnik - Bovec</b>							
Pol 1mg	manganese nodule	deep water	Mn- mineralization	30.40	3.09		
<b>234 Mokronog</b>							
T 3/86	biomicritic limestone	deep water	chert nodules	29.13	1.07		

lomitizacija. Istočasno so bile na prostoru Dolenjske paleogeografske razmere nekoliko drugačne. Tam je prevladoval bolj zaprt šelf (profil Jelenov žleb, Oreh e k & Ogorlec et al., 1981). Tudi za malmsko obdobje je značilna sedimentacija na plitvem odprttem šelfu (tab. 3, sl. 3), na Trnovskem gozdu v obliki velikega bariernega grebana (sl. 2) (Turňšek, 1966; Turňšek et al., 1981).

Štiriindvajset raziskanih vzorcev iz plitvovodnega okolja smo razdelili v tri skupine (sl. 9, tabela 7) in sicer v **oolitni apnenec, biosparitni in biomikritni tip apneca ter zrnat dolomit**, ki je nastal pri kasni diagenezi. Vsi apnenci, ne glede na njihovo strukturo in facies, padajo v dokaj zgoščeno polje, ki ga za  $\delta^{18}\text{O}$  opredeljujeta vrednosti med 27,60 in 31,10 ‰ SMOW, za  $\delta^{13}\text{C}$  pa so nihanja nekoliko višja in sicer med 0,41 in 3,77 ‰ PDB s povprečjem okrog 2 %. Vzorci z najnižjimi vsebnostmi  $\delta^{13}\text{C}$  kažejo namreč vpliv vodozne diageneze (npr. gravitacijski cement), v okviru katere so meteorske vode obogatile apnenec z luhkim ogljikovim izotopom.

Štirje vzorci **zrnatega dolomita in dedolomita** kažejo za dolomit relativno nizke vsebnosti tako  $\delta^{18}\text{O}$  (24,25 do 28,00 ‰ SMOW) kot za  $\delta^{13}\text{C}$  (-1,62 do +2,29 ‰ PDB). Za popolnejše ovrednotenje izmerjenih podatkov je teh zaenkrat še premalo, zato imajo ti le orientacijski značaj.

Apnence *globnjega okolja* (sl. 2, vzorci 227-234, tabela 7) smo s sedmimi vzorci raziskali na Blegošu, Mangartskem sedlu in pri Bovcu. Te plasti so razvite kot temnejši biomikritni apnenci z gomolji roženca. Med fosili so zastopani predvsem radiolariji, v svetlem apnencu berriasijske starosti pa kalpione (tab. 3, sl. 4 in 5). Na več lokalnostih širšega bovškega prostora pa so za zgornjeliasno in doggersko obdobje značilni pojavi manganskih gomoljev (tab. 3, sl. 6) in manganove mineralizacije (Jurkovič et al., 1990).

Raziskani vzorci imajo zanimivo, dokaj podobno izotopsko sestavo obeh elementov - kisika in ogljika, kot jo kažejo plitvovodni jurski apnenci (sl. 9). Vrednosti  $\delta^{18}\text{O}$  so v razponu med 26,72 in 29,13 ‰ SMOW,  $\delta^{13}\text{C}$  pa med 1,07 in 2,20 ‰ PDB. Posebnost sta vzorca manganskega gomolja iz Bovca ter lapornatega apneca tik pod plastjo manganove rude na Mangartu, ki imata  $\delta^{18}\text{O}$  med 30,40 in 31,81 ‰ SMOW,  $\delta^{13}\text{C}$  pa 3,07 do

3,09 ‰ PDB. Višje vsebnosti težkega izotopa kisika predvidevamo, da so lahko povezane z višjimi temperaturami pri nastanku manganove mineralizacije ob podvodnih ekshalacijah rudnih raztopin.

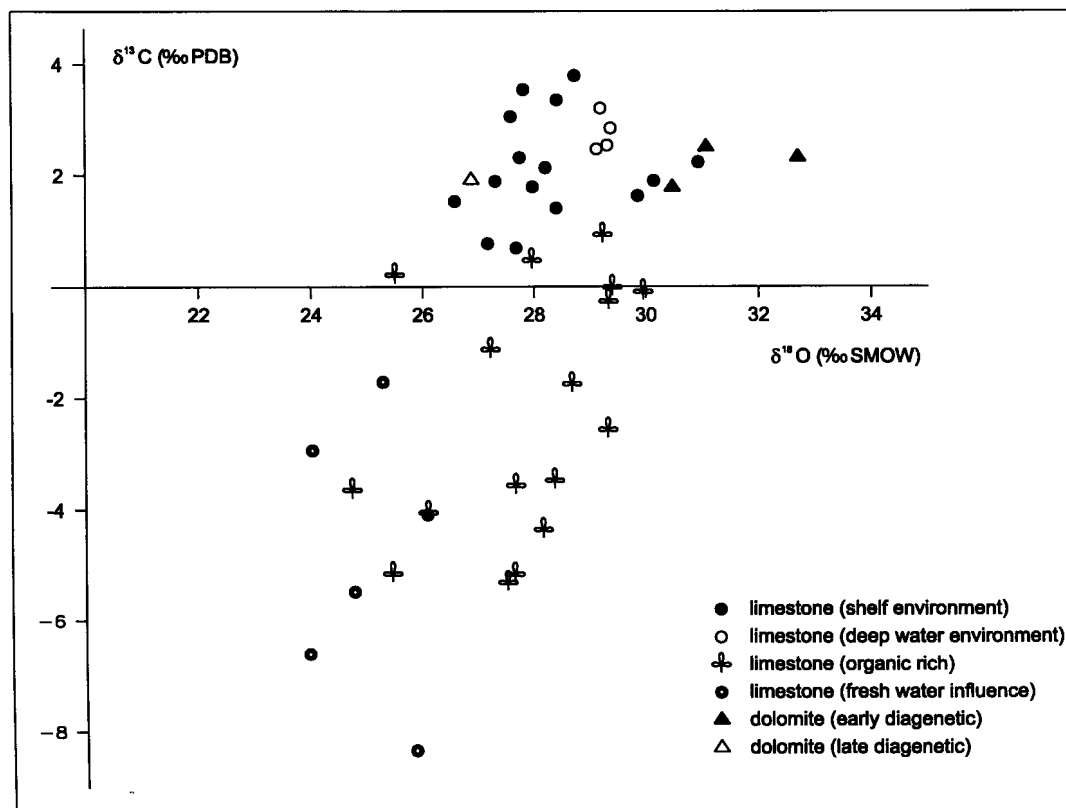
## KREDA

Kredne plasti so v južni in zahodni Sloveniji razvite pretežno kot apnenci, v precej manjši meri kot dolomiti, v Posočju, Bohinju in v vzhodnih Posavskih gubah pa tudi kot globjevodni fliš (sl. 2).

V spodnji kredi se je apnenec odlagal v bolj zatišnem in mirnem plitvem okolju, za katerega so značilni biomikritni in biopel-mikritni različki apneca (tab. 4, sl. 1, 2). Med fosili so zastopane predvsem miliolide in skeletne alge. V zgornji kredi pa je bila Dinarska plošča bolj odprta; značilne zanjo so rudistne trate in manjši grebeni, kar velja predvsem za območje Krasa (Jurkovič et al., 1996; Koch et al., 1989).

Poseben, v geološki literaturi zaradi lepo ohranjene ribje favne dobro znan tip kamnine pa so timi črni ploščasti apnenci z roženci cenomanijsko-turonjske starosti oziroma Komenski apnenci (Bušer, 1973; Ogorlec et al., 1987). Posebnost so ti apnenci tudi zato, ker vsebujejo povišan delež organske snovi, do 2,5 % (tab. 4, sl. 3). Ta apnenec se je odlagal v plitvih zaprtih lagunah znotraj šelfa, ki pa so občasno imeli tudi povezavo z odprtим morjem (Ogorlec et al., 1996).

43 raziskanih vzorcev smo razdelili v štiri skupine (vz. 235 - 279, sl. 2 in 10, tabela 8). V prvo skupino uvrščamo vse različke apnencev, tako tistih, ki so se odlagali v zaprtih delih šelfa (vzorci s Kočevskega Roga, Ribnice, Sabotina in okolice Sežane) in so po strukturi biomikritni ali pelmikritni, kot tudi apnenec odprtrega šelfa (biosparitni in rudistni različki). 15 teh vzorcev pada v polje, ki je značilno za apnence (sl. 10). Za  $\delta^{18}\text{O}$  ga opredeljujeta vrednosti 26,58 in 30,94 ‰ SMOW, za  $\delta^{13}\text{C}$  pa 0,69 do 3,79 ‰ PDB s povprečjem okrog 2 %. Na osnovi vrednosti kisika predvidevamo temperaturo morja v krednem obdobju na 16 do 33 °C. V drugo skupino prištevamo tri vzorce **zgodnjedienegetskega dolomita** (biomikritni in stromatolitni tip). Ti so glede na apnenec

Sl. 10. Izotopska sestava  $\delta^{18}\text{O}$  in  $\delta^{13}\text{C}$  krednih karbonatnih kamninFig. 10. Isotopic composition of  $\delta^{18}\text{O}$  and  $\delta^{13}\text{C}$  for Cretaceous carbonate rocks

obogateni s težkim izotopom kisika za 2 do 3 ‰ in imajo svoje vrednosti za  $\delta^{18}\text{O}$  med 30,48 in 32,71 ‰ SMOW.

Tretjo skupino sestavljajo že omenjeni vzorci **Komenskega apnенca**. Tega smo s 15 vzorci raziskovali v okolici Komna in Škrbine. Zanj je značilno dokaj široko nihanje vsebnosti  $\delta^{18}\text{O}$  (med 24,72 in 30,15 ‰ SMOW) ter zaradi organske primesi izredna obogatitev z lahkim izotopom ogljika (+0,47 do -5,31 ‰ PDB s povprečjem okrog -3 ‰).

Zadnjo skupino raziskanih vzorcev plitvovodnega okolja predstavlja šest vzorcev **haracejskega apnенca** maastrichtijske starosti, ki smo jih odvzeli v cestnem useku pri Vremskem Britofu. Glede na brakično in sladkovodno sedimentacijsko okolje, v katerem se je odlagal ta apnenec ter glede na vadozne diagenetske pogoje, so tudi ti vzorci močno obogateni z lahkim izotopom ogljika. Ta znaša med -1,71 in celo -8,34 ‰

PDB, vrednosti  $\delta^{18}\text{O}$  pa so v relativno ozkem območju, med 24,01 in 26,08 ‰ SMOW.

Kredne apnence *globjevodnega okolja* smo raziskali le s štirimi različki (sl. 2 in 10, vz. 280-283). V vseh primerih gre za **rdečo scaglio**, biomikritni apnenec z globotrunkanami (tab. 4, sl. 5), ki je senonijske starosti in se stratigrafsko pojavlja v Zgornjem Posočju pod flišem. Izotopska sestava vseh štirih vzorcev pada v zelo ozko polje, ki je značilno za normalne morske apnence (sl. 10). Njihova povprečna vrednost  $\delta^{18}\text{O}$  znaša 29,20 ‰ SMOW, pa 2,8 ‰ PDB.

Tudi na meji kreda/terciar je prišlo, podobno kot na meji med permom in triasom, do nagle spremembe v izotopski sestavi  $\delta^{13}\text{C}$ , ki je razpoznavna v celotnem svetu. Analize v profilih Dolenja vas pri Senožečah so pokazale, da je prišlo do nagle obogatitve z lahkim izotopom ogljika okrog 80 cm pod samo K/T mejo, tudi do

Tabela 8: Sestava stabilnih izotopov, litologija in facies krednih karbonatnih kamnin  
 Table 8: Stable isotope composition, lithology and facies of Cretaceous carbonate rocks

Sample No.	Lithology	Facies	Diagenetic features	$\delta^{18}\text{O}$ ‰ SMOW	$\delta^{13}\text{C}$ ‰ PDB		
<b>A. DINARIC CARBONATE PLATFORM</b>							
<b>235 - 240 Kočevski Rog (Lower &amp; Upper Cretaceous)</b>							
KRg 11	biomicritic limestone	restricted shelf	late dolomitization	26.58	1.53		
KRg 26	"			27.75	2.32		
KRg 52	"			27.31	3.54		
KRg 91	biosparitic limestone			27.82	1.89		
KRg 102	"			28.40	1.41		
KRg 104	sparry dolomite			26.88	1.91		
<b>241 - 245 Jelenov Žleb - Ribnica (Lower Cretaceous)</b>							
Mz 79/54	micritic dolomite	restricted & open shelf	early dolomitization	30.48	1.78		
Mz 79/80	biomicritic limestone			30.94	2.23		
Mz 79/99	"			27.59	3.05		
Mz 79/125	"			28.21	2.13		
Mz 79/127	biomicritic dolomite			32.71	2.31		
<b>247 - 248 Sabotin (Lower Cretaceous)</b>							
88 - 5	dark micritic limestone	restricted shelf		28.74	3.79		
88 - 7	"			28.42	3.35		
<b>248 - 252 Sežana (Upper Cretaceous)</b>							
SP 91/8-1	dark biomicritic limestone	restricted shelf	organic matter influence	27.68	0.69		
SP 91/8-8	"			27.17	0.77		
SP 91/8-15	"			27.21	-1.13		
SP 91/8-16	"			25.50	0.21		
<b>252 - 256 Komen - Štanjel (Upper Cretaceous)</b>							
Ko 5	stromatolitic dolomite	restricted shelf	organic matter	31.08	2.49		
29038	biomicritic limestone			30.15	1.90		
29040	"			29.33	-0.26		
29042	biosparitic limestone			29.86	1.63		
Šta-1	rudistic limestone			27.98	1.79		
<b>257 - 268 Vremski Britof (Upper Cretaceous - Maastrichtian)</b>							
SP 101/1-1	dark biomicritic limestone	restricted shelf	organic matter & vadose environment	24.72	-3.65		
SP 101/1-3	black laminated limestone			26.08	-4.05		
SP 101/1-5	"			25.44	-5.15		
SP 101/1-10	biomicritic limestone			24.01	-2.94		
SP 101/1-12	"			24.76	-5.48		
SP 101/1-14	characean limestone			26.07	-4.09		
SP 101/1-18	"			25.28	-1.71		
SP 101/1-19	black biomicritic limestone			25.85	-8.34		
SP 101/1-22	"			23.96	-6.60		
<b>269 - 279 Komen (Komen facies - Turonian &amp; Senonian)</b>							
Ko 29001a	black biomicritic limestone	lagoon & littoral	(0.2-2.5 %)	29.40	-0.01		
Ko 29001b	"			27.96	0.47		
Ko 2901c	"			29.31	-2.57		
Ko - Š 1	"			28.14	-4.36		
Ko - Š 2	"			27.50	-5.31		
Ko - Š 3	"			27.63	-5.16		
Ko - Š 4	"			28.35	-3.48		
Ko - S 5	"			27.65	-3.57		
Sk 3/2 (Skopo)	biomicritic limestone	vadose environment	influence	29.95	-0.09		
Sk 3/5 "	"			28.67	-1.75		
Sk 3/10 "	"			29.23	-0.93		
<b>B. DEEP WATER ENVIRONMENT (SLOVENIAN TROUGH)</b>							
<b>280 Vrsnik - Trenta (Upper Cretaceous - Senonian)</b>							
Sc - T1	red biomicritic limestone	"scaglia"		29.38	2.84		
281 - 282 Bovec (Senonian)	"						
K 16b	red biomicritic limestone	"scaglia"		29.32	2.53		
K 18	"			29.13	2.46		
<b>283 Podbrdo (Senonian)</b>							
Va 2	red biomicritic limestone	"scaglia"		29.20	3.20		

8% (Dolenec et al., 1995 b; Ogorelec et al., 1995). Izotopska krivulja se vrne v "prvotno" stanje 50 do 120 cm nad K/T mejo. Obogatitev z lahkim izotopom ogljika kaže na močan dotok luhkega ogljika, kar je povezano z globalnimi klimatskimi spremembami zaradi trka izvenzemeljskega telesa.

### Paleogen

Na Primorskem se je sedimentacija Liburnijske formacije (Jurkovič et al., 1996) mestoma zvezno nadaljevala še v spodnjedanijsko obdobje (sl. 2), ponekod pa imamo v tem času sedimentacijsko vrzel in tvorbo boksitov. Zaradi stratigrafske primerjave haracejskega apnenca maastrichtijske starosti smo pri Vremskem Britofu, Kozini in Štorjah (sl. 2 in 11, tabela 9) izotopsko raziskali še devet vzorcev v vrhnjih delih profilov, kjer je apnenec že paleocenske, danijske starosti.

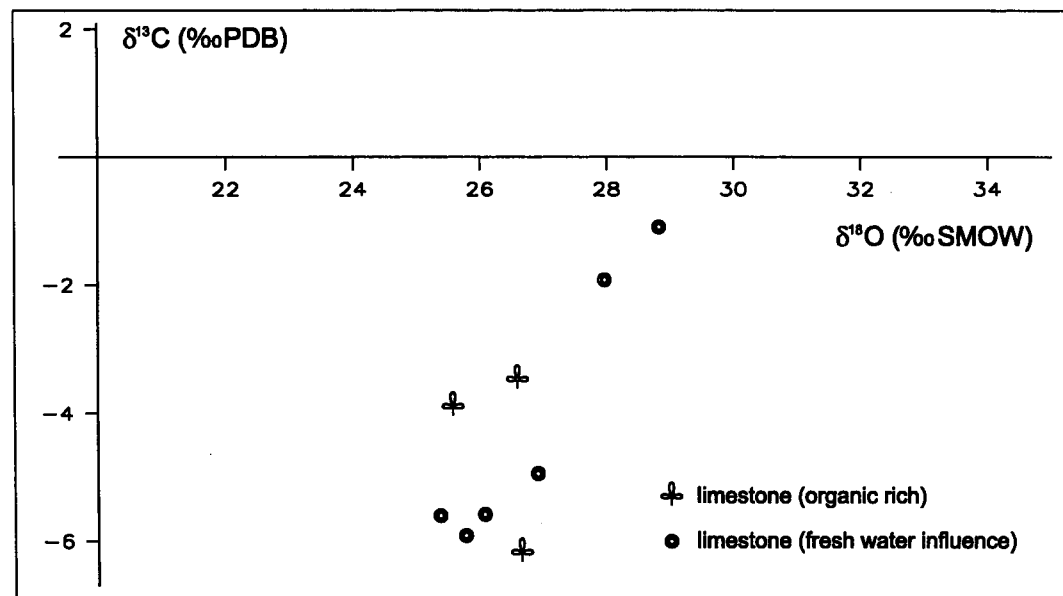
Raziskane vzorce smo po litologiji in faciesu razdelili v dve skupini. Prvo sestavlja **biomikritni tip apnenca**, ki je bogat z **organisko snovjo** in kaže mestoma vpliv vad-

zne diageneze, v drugo skupino pa prištevamo prav tako biomikritni, **haracejski apnec** (tab. 4, sl. 6). Ta kaže na sedimentacijo v brakičnem in bolj sladkovodnem okolju (sl. 11). Za vse vzorce je značilna izredna obogatitev z lahkim ogljikovim izotopom ( $\delta^{13}\text{C}$  je med -1,09 in -6,17 ‰ PDB), medtem ko so vrednosti  $\delta^{18}\text{O}$  v območju med 25,36 in 28,82 ‰ SMOW, kar so poprečne vrednosti za apnenec.

### Zaključki

Raziskave blizu 300 vzorcev apnenca in dolomita iz različnih lokalnosti slovenskega prostora ter različnih starosti in faciesov so pokazale, da na izotopsko sestavo karbonatnih kamnin vplivajo številni faktorji. Med temi so najbolj pomembni njihova mineralna sestava (kalcit ali dolomit), diagennetski procesi in prisotnost organske snovi v kamnini. Starost kamnine ter njen facies sta kot izgleda manj pomembna (Emilianni, 1996; Fritz & Fontes, 1980).

Na sliki 12 so zbrani vsi analitski podatki raziskanih vzorcev karbonatnih kamnin. Le te so nastajale v različnih sedimentacij-



Sl. 11. Izotopska sestava  $\delta^{18}\text{O}$  in  $\delta^{13}\text{C}$  apnencev Liburnijske formacije na Krasu  
Fig. 11. Isotopic composition of  $\delta^{18}\text{O}$  and  $\delta^{13}\text{C}$  for limestone of the Liburnian formation from Karst

Tabela 9: Sestava stabilnih izotopov, litologija in facies vzorcev Liburnijske formacije  
 Table 9: Stable isotope composition, lithology and facies of the Liburnian Formation

Sample No.	Lithology	Facies	Diagenetic features	$\delta^{18}\text{O}$ ‰ SMOW	$\delta^{13}\text{C}$ ‰ PDB
<b>284 - 287</b> Kozina (Danian)					
Kz 1	dark characean limestone			26.90	- 4.94
Kz 2	"			28.82	- 1.09
Kz 3	dark biomicritic limestone			26.64	- 6.17
Kz 4	flat pebble conglomerate			26.06	- 5.58
<b>288 - 289</b> Štorje					
Št 2	dark characean limestone			27.96	- 1.92
Št 3	flat pebble conglomerate			25.36	- 5.60
<b>290 - 292</b> Vremski Britof (Danian)					
Sp 101/1-24	black biomicritic limestone			26.58	-3.47
Sp 101/1-25	"			25.76	-5.91
Sp 101/1-29	"			25.56	-3.89
		lagoon & littoral	organic matter & vadose environment influence		
		lagoon	organic matter influence		

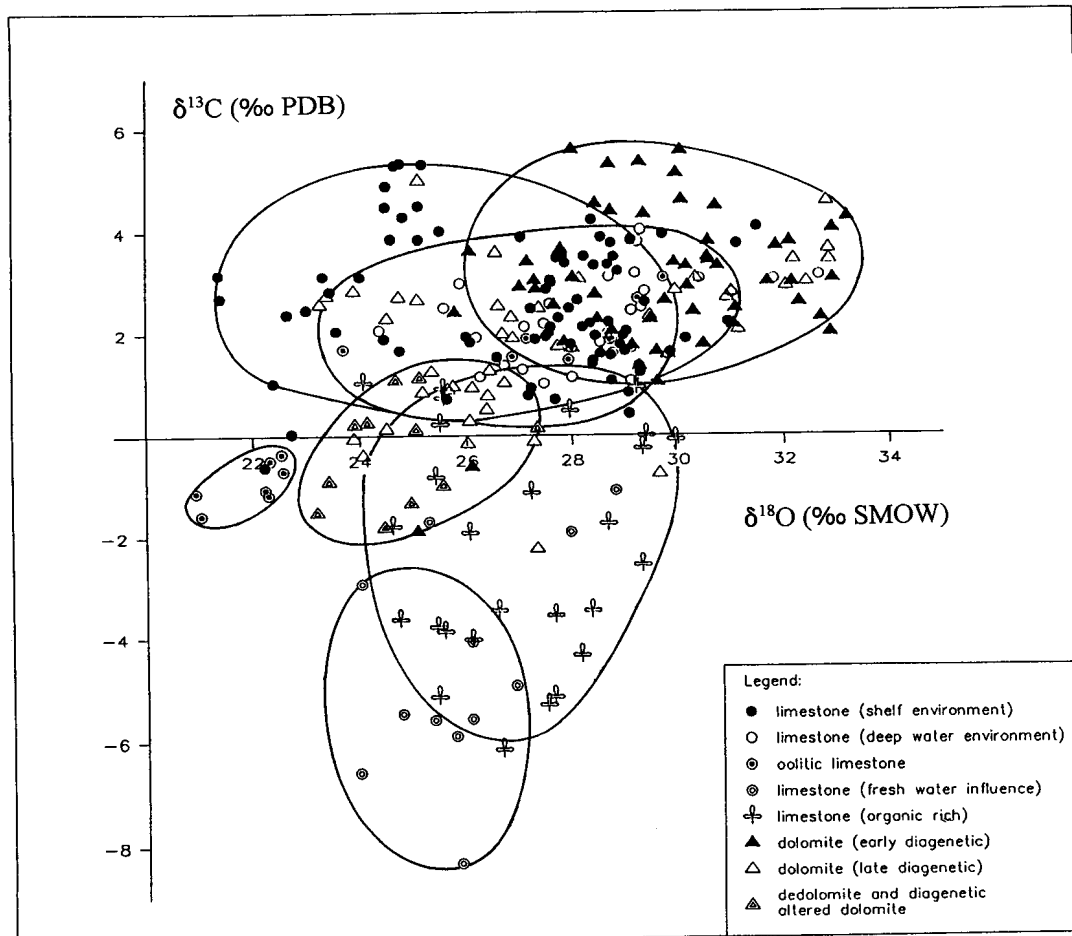
skih okolijih, kot so odprti in zaprti šelf, lagune, litoralno okolje, grebeni in globjevno-dno okolje. Diagenetski procesi zajemajo prvenstveno njihovo zgodnjo in pozno dolomitizacijo, dedolomitizacijo, vplive evaporitnega okolja ter vrsto freatične ali meteorske cementacije. Raziskane kamnine lahko razdelimo v sedem skupin, za ketere veljajo naslednje osnovne značilnosti:

1) Pri veliki *večini apnencev* se giblje vsebnost  $\delta^{18}\text{O}$  med 22 in 30 ‰ SMOW s povprečjem okrog 28 ‰, kar se dobro ujema z literaturnimi podatki v svetu (D e g e n s & E p s t e i n 1964; H o e f s, 1987; Milliman, 1974), njihov delež ( $\delta^{13}\text{C}$ ) pa je v razponu med 0,5 in 5 ‰ PDB s povprečjem okrog +2 ‰. Pri tem starost znotraj mezozojskega sistema, sedimentacijsko okolje in facies ne diferencirajo posameznih skupin vzorcev.

2) V primerjavi z apnenci so *zgodnjediagenetski dolomiti* obogateni s težjim izotopom  $\delta^{18}\text{O}$  za 2 do 5 ‰ (njihova vrednost se giblje med 26 in 33 ‰ SMOW), kar je rezultat izotopske frakcionacije dolomita (H o e f s, 1987). Kasnodiagenetski dolomiti, dedolomiti in satasti dolomiti pa so v primerjavi z zgodnjidiagenetskim

dolomitom obogateni tako z lažjim izotopom kisika za 3-5 ‰ ( $\delta^{18}\text{O}$  med 22 in 27 ‰), kot tudi za 2 do 3 ‰ z lažjim izotopom ogljika.

- 3) Apnenci, ki vsebujejo *povečano količino organske snovi*, so obogateni z lahkim izotopom ogljika do 8 ‰. Taka primera sta črn karnijski apnenec iz Drenovega griča in znameniti Komenski ploščasti apnenec zgornjekredne starosti. V obeh primerih je delež organske snovi v njih do 2,5 ‰.
- 4) Še nižje vsebnosti  $\delta^{13}\text{C}$  oziroma obogativet z lahkim izotopom ogljika pa opazujemo pri haracejskem apnenu Liburnijske formacije maastrichtijsko-danijske starosti, kjer se zaradi *brakičnega in sladkovodnega okolja giblje*  $\delta^{13}\text{C}$  med -1 in -8 ‰ PDB. Obogativet z lahkim izotopom ogljika opazujemo tudi pri tistih apnencih zgornjetriaspne in jurske starosti, ki kažejo *vpliv meteorske diageneze* (gravitacijski cement).
- 5) Osem vzorcev skitijskega oolitnega apnanca je popolnoma obogatenih tako z lahkim izotopom ogljika kot kisika. Njihov  $\delta^{18}\text{O}$  je v območju 21 do 22 ‰ SMOW,



Sl. 12. Izotopska sestava  $\delta^{18}\text{O}$  in  $\delta^{13}\text{C}$  vseh raziskanih vzorcev mezozojskih karbonatnih kamnin  
Fig. 12. Isotopic composition of  $\delta^{18}\text{O}$  and  $\delta^{13}\text{C}$  for all investigated Mesozoic carbonate rocks

$\delta^{13}\text{C}$  pa med -2 in 0 ‰ PDB. Vzorci kažejo na vpliv sladke vode med sedimentacijskimi in diagenetskimi procesi.

Poleg vseh naštetih pa lahko na izotopsko sestavo karbonatnih kamnin vplivajo še drugi faktorji, ki so bili v uvodnem delu že omenjeni. Predvsem velja to za globalne spremembe klime ob velikih geoloških katastrofah, kakršne so bile npr. na meji perm/trias in kreda/terciar. Zaradi take kompleksnosti so prikazani rezultati in iz njih izvedeni zaključki za slovenski prostor še preliminarni in jih bo v prihodnosti potrebno še pazljivo dopolniti.

### Isotope composition of O and C in Mesozoic carbonate rocks of Slovenia - effect of facies and diagenesis

Over two thirds of the Slovenian territory is built of carbonate rocks. Stratigraphic sequences ranging from Upper Permian to Paleogene can be encountered. The majority of carbonate rocks are of the Mesozoic - Triassic, Jurassic and Cretaceous Age. The current study is based on nearly 300 samples from the whole above mentioned stratigraphic sequences and from all main tectonic units (Figs. 1 and 2).

The main goal of the study was an attempt to establish relation between carbo-

nate rocks from different sedimentary environments and their isotope composition. Limestone and dolomite samples were selected according to their mineral composition, depositional environment (shallow water, littoral, open or restricted shelf, lagoons, deep water, reefs), geologic age, diagenesis (early or late diagenetic dolomitisation, dedolomitisation, phreatic or vadose cementation, admixture of organic matter, etc.) as already reported (Ogorčel et al., 1998).

The isotope measurements were carried out on non-degraded samples of dolomite and limestone rocks. The mineralogy of carbonates was determined by X-ray diffraction method and by examination of thin sections by standard optical methods, including staining. In addition, all samples were evaluated by petrographic methods to recognise their diagenetic history and degree of diagenesis. Only unrecrystallised or insignificantly recrystallised samples were used for isotope analyses. Final samples were obtained as a split of powder prepared from rock chips remaining after the preparation of thin sections. Then they were treated with phosphoric acid. Obtained CO<sub>2</sub> was purified and isotope composition was measured on Varian MAT 250 mass spectrometer. Data were corrected to international values.

Isotope composition of oxygen varies in limestone and dolomite samples from +21 to +34 ‰ SMOW, depending on the above mentioned environment of deposition, and the degree of diagenetic alteration, while δ<sup>13</sup>C values range from -8,2 to +4 ‰ PDB, depending on the higher admixture of the organic matter or meteoric diagenesis. Early-diagenetic dolomites are enriched with heavier oxygen isotope compared to limestones (2-5 ‰) whereas the organic rich limestone has δ<sup>13</sup>C from -5 do -0 ‰ PDB. Scythian oolitic limestone is commonly depleted in heavy oxygen and carbon isotopes. δ<sup>18</sup>O is ranging from +21 to +22 ‰ SMOW and δ<sup>13</sup>C from -3 to 0 ‰ PDB. Therein, the influence of vadose processes can be presumed.

## Literatura

Beukes, N. J., Klein, C., Kaufmann, A. J. & Hayes, J. M. 1990: Carbonate petro-

graphy, kerogen distribution, and carbon and oxygen isotope variations in an Early Proterozoic transition from limestone to iron-formation deposition, Traansvaal Supergroup, South Africa - *Ecom. Geology*, 85, 663-690, El Paso.

Buggisch, W. 1974: Die Bellerophonsehichten der Reppwand (Gartenkofel), Oberperm, Karnische Alpen: Untersuchungen zur Fazies und Geochemie. - *Carinthia II*, 164 (1975), 17-26, Klagenfurt.

Buse, S. 1973: Tolmač lista Gorica. Osnovna geološka karta 1:100.000. - Zvezni geološki zavod, 50 p., Beograd.

Buse, S. 1989: Development of the Dinaric and the Julian Carbonate Platforms and of the intermediate Slovenian Basin (NW Yugoslavia). - *Mem. Soc. Geol. Ital.* 40, 313-320, Roma.

Buse, S., Gradel, K., Ogorčel, B., Ramović, A. & Šribar, L. 1986: Stratigraphical, paleontological and sedimentological characteristics of Upper Permian beds in Slovenia, NW Yugoslavia. - *Mem. Soc. Geol. Ital.* 34, 195-210, Roma.

Čar, J., Gregorič, V., Ogorčel, B. & Orehek, S. 1980: Sedimentološki razvoj skitskih plasti v idrijskem rudišču. - *Rud. metal. zb.* 27/1, 3-20, Ljubljana.

Degen, E.T. & Petersen, S. 1964: Oxygen and carbon isotope ratios in coexisting calcites and dolomites from recent and ancient sediments. - *Geochim. Cosmochim. Acta*, 28, 23-47, New York.

Dolenec, T., Ogorčel, B. & Pezdič, J. 1981: Zgornjepermske in skitske plasti pri Tržiču. - *Geologija* 24/2, 217-238, Ljubljana.

Dolenec, T., Kuše, J. & Pezdič, J. 1982: Izotopska sestava kisika in ogljika v prikamni in kalcitu diskordantnih rudnih teles unionskega sistema v Mežici. - *Zbornik radova 10. jubilarnega kongresa geologov Jugoslavije*, Budva, 693-710.

Dolenec, T. & Jelen, B. 1987: Uporaba izotopskih analiz v študiju paleobiologije karnijske školjčne favne na Lesnem brdu. - *Geologija* 30, 219-230, Ljubljana.

Dolenec, T., Herle, U. & Pezdič, J. 1990: Izotopska sestava kisika in ogljika v Zn-Pb rudišču Topla. - *Zbornik radova 12. kongresa geologov Jugoslavije*, Ohrid, 646-622.

Dolenec, T., Pezdič, J. & Kuše, J. 1993a: Izotopska sestava kisika in ogljika v karbonatih iz mežiškega rudišča Graben. - *Rud. metal. zb.* 40/1-2, 133-144, Ljubljana.

Dolenec, T., Pezdič, J. & Kuše, J. 1993b: Izotopska sestava kisika in ogljika v karbonatih iz mežiškega rudišča Navršnik. - *Rud. metal. zb.* 40/3-4, 429-437, Ljubljana.

Dolenec, T., Kuše, J. & Pezdič, J. 1993c: Izotopska sestava O in C v Pb-Zn rudišču Mežica. - *Rud. metal. zb.* (33. Skok čez kožo, abstrakt), 42-43, Ljubljana.

Dolenec, T. & Pavšič, J. 1995: Elemental and stable isotope variations in the Cretaceous-Tertiary boundary sediments from the Soča Valley, NW Slovenia. - *Terra nova* 7/6, 630-635, Helsinki.

Dolenec, T., Ogorčel, B. & Pezdič, J. 1995a: The Permian-Triassic boundary in the Karavanke Mountains (Slovenia): stable isotope variations. - V: Vlahović, I., Velič, I. & Šparica, M. (eds.) - 1. hrvatski geol. kongres Opatija, *Zbornik radova* 1, 163-165, Zagreb.

Dolenc, T., Cucchi, F., Giacovich, R., Marton, E. & Ogorelec, B., 1995b: Abiotic characteristics of carbonate rocks from the K/T boundary on the Karst area (isotopes, geochemistry, geochronology and paleomagnetism). V. Montanari, A. & Cochioni, R. (eds.) - Impact Cratering and Evolution of Planet Earth, 4<sup>th</sup> Int. workshop, Ancona, May 1995, Abstracts and field trips, 68-69, Ancona.

Dolenc, T. & Ramovš, A. 1998: Isotopic changes at the Permian-Triassic boundary in the Idrijca Valley (W. Slovenia). - RMZ - Materiali in geokolje 45/3-4, 405-411, Ljubljana.

Dolenc, T., Busev, S. & Dolenc, M. 1998: The Permian-Triassic boundary in the Karavanke Mountains (Slovenia): Stable isotope variations in the boundary carbonate rocks of the Košutnik Creek and Brsnina section. - Geologija 41, 17-27, Ljubljana.

Dolenc, T., Ogorelec, B., Lojen, S. & Busev, S. 1999a: Meja perm-trias v Masorah pri Idriji. - RMZ - Materiali in geokolje 46/3, 449-452, Ljubljana.

Dolenc, T., Lojen, S. & Ramovš, A. 1999b: The Permian/Triassic boundary in Western Slovenia (Idrijca Valley section): magnetostratigraphy, stable isotopes and elemental variations. - Chem. Geology (submitted).

Drobne, K., Ogorelec, B., Dolenc, T., Marton, E. & Palinkaš, L. 1996: Biota and abiota at the K/T boundary in the Doljenja vas sections, Slovenia. - V: Drobne, K., Goričan, Š. & Kotnik, B. (eds.): The role of impact processes in the geological and biological evolution of planet Earth, Int. workshop Postojna, Sept. 1996, ZRC SAZU Spec. Pub., 163-181, Ljubljana.

Emilia, C. 1966: Isotopic Paleotemperatures. - Science 154, 851, Washington.

Epestein, S. & Mayeda, T. 1953: Variation of O<sub>18</sub> content of waters from natural sources. - Geochim. et Cosmochim. Acta 4, 213-224, New York.

Fabricius, F., Friedrichsen, H. & Jacobshagen, V., 1970: Zur Methodik der Paläotemperatur - Ermittlung in Obertrias und Lias der Alpen und benachbarten Mediteran-Gebieten. - Verh. Geol. B.A., 4, 583-593, Wien.

Faure, G. 1977: Principles of Isotope Geology. - John Wiley and Sons, New York, 464 p.

Faure, K., Maarten, J. de Wit. & Willis, J. P. 1995: Late Permian global coal hiatus to <sup>13</sup>C - depleted CO<sub>2</sub> flux into the atmosphere during the final consolidation of Pangea. - Geology 23, 507-510, Boulder.

Flügel, E., Ramovš, A. & Bucur, I. I. 1993: Middle Triassic (Anisian) Limestone from Bled, Northwestern Slovenia: Microfacies and Microfossils. - Geologija 36, 157-181, Ljubljana.

Fridman, I. & O'Neill, J.R. 1977: Compilation of stable isotope fractionation factors of geochemical interest. In: Fleischer, M. (ed.) - Data of Geochemistry, 6th ed., U.S. Geol. Surv. Prof. Paper 440, Washington.

Fritz, P. & Fontes, J. Ch. 1980: Handbook of Environmental Isotope Geochemistry. Elsevier Publ. Co., 545 p., Amsterdam.

Gökdag, H. 1974: Sedimentpetrographische und isotopenchemische (O<sup>18</sup>, C<sup>13</sup>) Untersuchungen im Dachsteinkalk (Obernor-Rät) der Nördlichen Kalkalpen. - Dissertation Univ. Marburg/Lahn, 156 p.

Grad, K. & Ogorelec, B. 1980: Zgornjepermiske, skitske in anizične kamenine na žirovskem ozemlju. - Geologija 23/2, 189-220, Ljubljana.

Hofes, J. 1987: Stable Isotope Geochemistry. Minerals and Rocks. - Springer Verl., 242 p., Berlin.

Jelen, B. 1988/89: Karnijska školjčna favnna na Lesnem brdu in njen paleobiološki pomen. - Geologija 31/32, 11-127, Ljubljana.

Jurkovič, B., Ogorelec, B., Kolar-Jurkovič, T., Jelen, B., Šribar, L. & Stojanović, B. 1984: Geološka zgradba ozemlja južno od Vršiča s posebnim ozirom na razvoj karnijskih plasti. - Rud. met. zb. 31, 301-334, Ljubljana.

Jurkovič, B., Šribar, L., Ogorelec, B. & Kolar-Jurkovič, T. 1990: Pelagične jurske in kredne plasti v zahodnem delu Julijskih Alp. - Geologija 31/31, 285-328, Ljubljana.

Jurkovič, B., Tomanc, M., Ogorelec, B., Šribar, L., Drobne, K., Poljak, M. & Šribar, Lj. 1996: Formacijska geološka karta južnega dela Tržaško-komenske planote - Kredne in paleogenske kamnine, 1:50.000. - IGGG, 143 p., Ljubljana.

Koch, R., Ogorelec, B. & Orehel, S., 1989: Microfacies and Diagenesis of Lower and Middle Cretaceous Carbonate Rocks of NW-Yugoslavia (Slovenia, Trnovo Area). - Facies 21, 135-170, Erlangen.

Magarić, M. 1975: Sparitization of a pelleted limestone: A case study of carbon and oxygen isotopic composition. - Jour. Sed. Petrol., 45, 599-603, Tulsa.

Magarić, M. 1983: Carbon and oxygen isotope composition of recent and ancient coated grains. - In: Peryt, T. M. (Ed.), Coated grains. - Springer Verlag, 27-37, Berlin.

Magarić, M. & Holser, W.T. 1991: The Permian-Triassic of the Gartnerkofel-1 Core (Carnic Alps, Austria): Carbon and Oxygen Isotope Variation. - V: Holser W.T. & Schönlau H.P. (eds.) - The Permian-Triassic boundary in the Carnic Alps of Austria (Gartnerkofel region). - Abh. Geol. B.A. 45, 149-163, Wien.

Magarić, M., Krishnamurthy, R. V. & Holser, W. T. 1992: Parallel trends in organic and inorganic carbon isotopes across the Permian/Triassic boundary. - Amer. Jour. Sci. 292, 727-739, New Haven.

Milliman, J.D., 1974: Marine carbonates; recent sedimentary carbonates. - Springer Verlag, 375 p., Berlin.

Ogorelec, B. & Roth, P. 1993: Mikrofazies, Diagenese und Geochemie des Dachstein-Kalkes und Hauptdolomits in Süd-West-Slovenien. - Geologija 35, 81-181, Ljubljana.

Ogorelec, B., Jurkovič, B., Šribar, L., Jelen, B., Stojanović, B. & Mišić, M. 1984: Karnijske plasti v Tamarju in pri Logu pod Mangartom. - Geologija 27, 107-158, Ljubljana.

Ogorelec, B., Dolenc, T., Cucchi, F., Giacovich, R., Drobne, K. & Pugliese, N. 1995: Sedimentological and Geochemical Characteristics of Carbonate Rocks from the K/T Boundary to Lower Eocene in the Karst Area (NW Adriatic Platform). V: Vlahović, I., Velić, I. & Sparica, M. (eds.) - 1. hrvatski geol. kongres Opatija, Zbornik radova 2, 415-421, Zagreb.

Ogorlec, B., Jurkovič, B., Šatar, D., Barać, G., Jelen, M. & Kapović, B. 1996: Potencialnost karbonatnih kamnin za nastanek ogljikovodikov v zahodni Sloveniji. - Geologija 39, 215-237, Ljubljana.

Ogorlec, B., Pezdič, J. & Dolenc, T. 1998: Mesozoic carbonate rocks in Slovenia: a case study for isotope composition. - RMZ - Materials and Geoenvironment 45/1-2, 132-135, Ljubljana.

Ogorlec, B., Orehel, S., Busev, S. & Pleinčar, M. 1987: Komen beds - Skopo at Dutovlje. - Guidebook, Evolution of the Karstic Carbonate Platform and Relation with other Pteriadriatic Carbonate Platforms, 61-63, Trieste.

Ogorlec, B., Jurkovič, B. & Šribar, L. 1996: Škrbina (Komen limestone), The first pelagic episode (Cenomanian - Turonian transgression). - In: Drobne K., Goričan, Š. & Kotnik, B. (eds.) The role of impact processes in the geological and biological evolution of planet Earth, 183-188, Ljubljana.

Orehel, S. & Ogorlec, B. 1979: Sedimentološke značilnosti jurskih in krednih karbonatnih kamnin na Trnovskem gozdu. - Geol. vjesnik 32, 185-192, Zagreb.

Orehel, S. & Ogorlec, B. 1981: Korelacija mikrofacialnih in geokemičnih značilnosti jurskih in krednih kamenin južne karbonatne platforme Slovenije. - Zav. geol. i geof. istraž., Vestnik, A, 38/39, 171-185, Beograd.

Perrick, R. D., Dryver, G. S., Rossoff, D. B., Fullere, J., Baker, P. A. & Loyd, R. M. 1994: Saline sedimentation and diagenesis: West Caicos Island, British West Indies. In: Purser, B., Tucker, M. & Zenger, D. (Eds.), Dolomites - Spec. Publ. Int. Ass. Sediment. 21, 37-54, Oxford.

Pezdič, J. 1999: Izotopi in geokemijski procesi. - Univerza v Ljubljani, NTF, 281 p., Ljubljana.

Polšak, A. & Pezdič, J. 1978: Paleotemperature realtions of the Carboniferous and Permian periods in the Diarids and Alps based on the oxygen isotope method and their paleogeographic applications. - Geol. Vjesnik 30/1, 157-187, Zagreb.

Ramovš, A. 1958: Razvoj zgornjega permaloskih in polhograjskih hribih. - Razprave SAZU IV, 4, 451-622, Ljubljana.

Sremac, J. 1991: Zona *Neoschwagerina Craticulifera* v Srednjem Velebitu. - Geologija 34, 7-55, Ljubljana.

Supko, P.R. 1977: Subsurface dolomites, San Salvador, Bahamas. - Jour. Sed. Petrol., 47/3, 1063-1077, Tulsa.

Struck, I. 1974: Nastanek karbonatnih kamnin in cinkovo svinčeve rude v anizičnih plasti Tople. - Geologija 17, 299-397, Ljubljana.

Tucker, M. E. 1990: Geological background to carbonate sedimentation. In: Tucker, M. E. & Wright, V. P. (Eds.), Carbonate Sedimentology. - Blackwell Sci. Publ., 482 p., Oxford.

Turňšek, D. 1966: Zgorjeurska hidrozojska fayna iz južne Slovenije. - Razprave SAZU IV, 9/8, 355-428, Ljubljana.

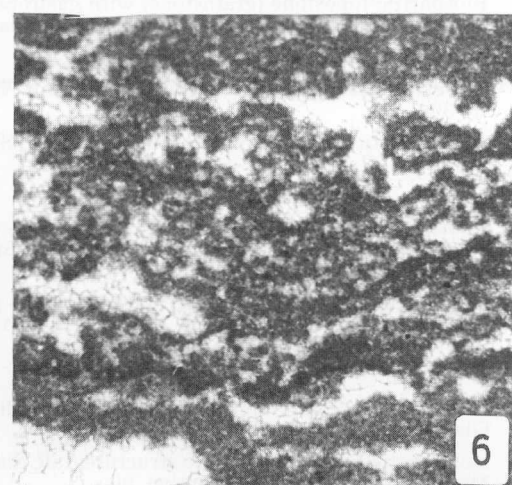
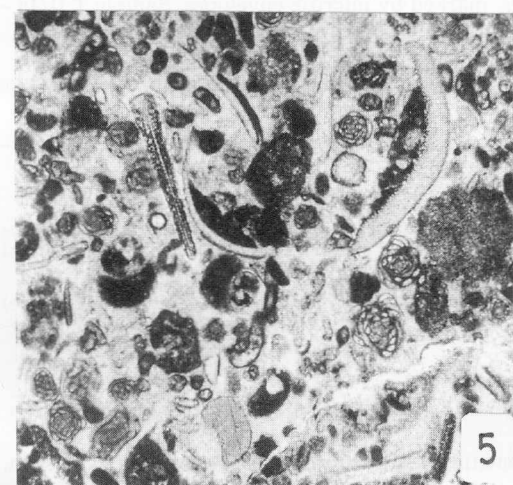
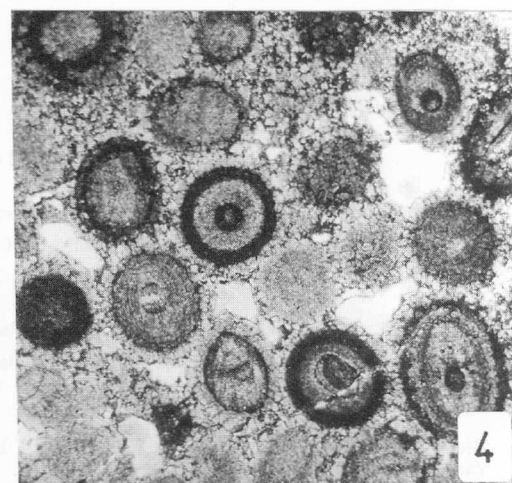
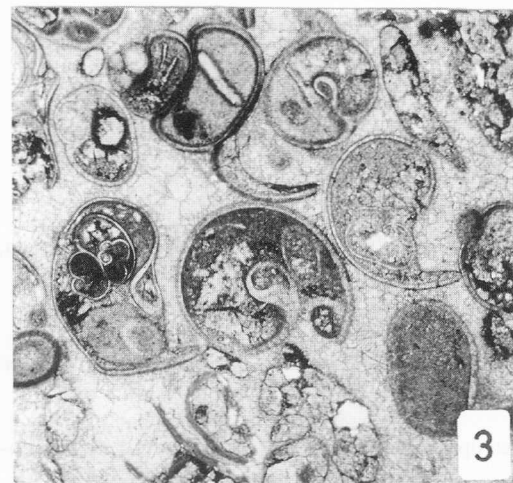
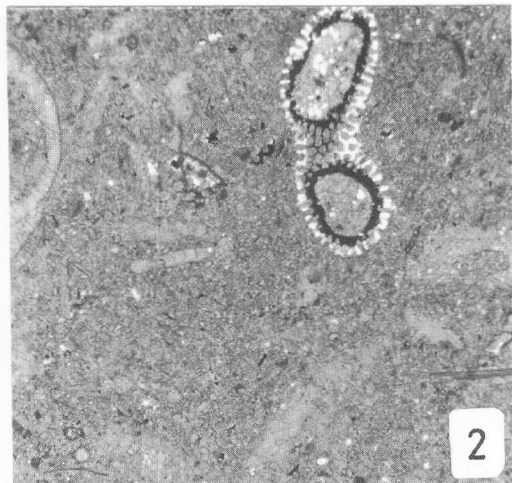
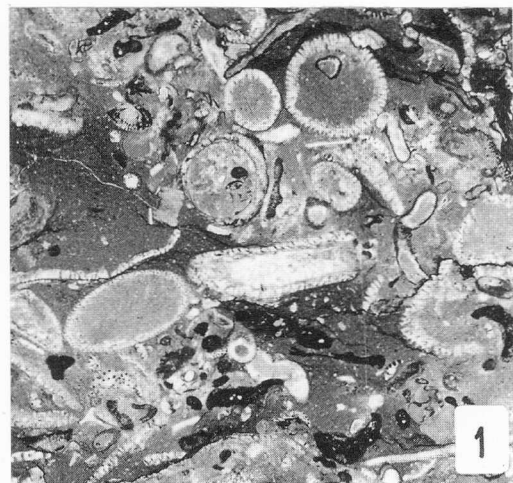
Turňšek, D., Busev, S. & Ogorlec, B., 1981: An Upper Jurassic reef complex from Slovenia, Yugoslavia. In Toomey D.F. (Ed.) European Fossil Reef Models. - SEPM Spec. Publ., 30, 361-369, Tulsa.

Turňšek, D., Busev, S. & Ogorlec, B. 1982: Carnian coral-sponge reefs in the Amphicline beds between Hudajužna and Zakriž (Western Slovenia). - Razprave SAZU IV, 24/2, 51-149, Ljubljana.

Wang, D., Geldsetzer, H. H. J. & Kröuse, H. R. 1994: Permian - Triassic extinction: Ogranicne  $\delta^{13}\text{C}$  evidence from British Columbia, Canada. - Geology 22, 580-584, Boulder.

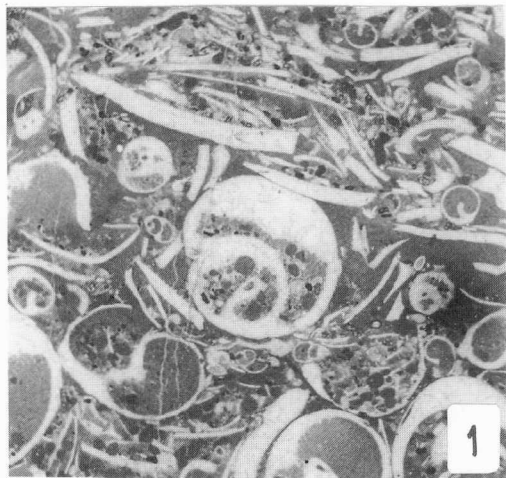
**Tabla 1 - Plate 1**

- 1 Biomikritni algni apnenec (packstone). Vz. Jd 32 - Javorjev dol pri Sovodnju, zgornji perm - Žažarska formacija, 6 ×  
Biomicritic algal limestone (packstone). Sample Jd 32 - Javorjev dol at Sovodenj, Upper Permian - Žažar Formation, 6 ×
- 2 Rekristaliziran biomikritni apnenec z algo *Vermiporella nipponica* Endo. Vz. Mas 56 - Masore pri Idriji, zgornji perm - Žažarska formacija, 25 ×  
Recrystallized biomicritic limestone with algae *Vermipporella nipponica* Endo. Sample Mas 56 - Masore at Idrija, Upper Permian - Žažar Formation, 25 ×
- 3 Biosparitni apnenec s številnimi gastropodi vrste *Holopella* sp. Vz. 472 - Trbovlje - Čebine, skitijska serija, 15 ×  
Biosparitic limestone with numerous gastropods *Holopella* sp. Sample 472 - Trbovlje - Čebine, Scythian, 15 ×
- 4 Oosparitni dolomit. Vz. 186 - Izlake, skitijska serija, 15 ×  
Oosparitic dolomite. Sample 186 - Izlake, Scythian, 15 ×
- 5 Intrabiosparitni apnenec (packstone) s številnimi foraminiferami (*Glomospira* sp.) in drobci iglokožev. Vz. Ce 22, Baba nad Cerknim, anizij, 30 ×  
Intrabiosparitic limestone (packstone) with foraminifers (*Glomospira* sp.) and echinoid fragments. Sample Ce 22, Baba near Cerkno, Anisian, 30 ×
- 6 Loferitni dolomit z izsušitvenimi porami. Vz. KK 1/4 - kamnolom Kisovec pri Zagorju, anizij, 20 ×  
Loferitic dolomite with shrinkage pores. Sample KK 1/4 - Kisovec quarry by Zagorje, Anisian, 20 ×

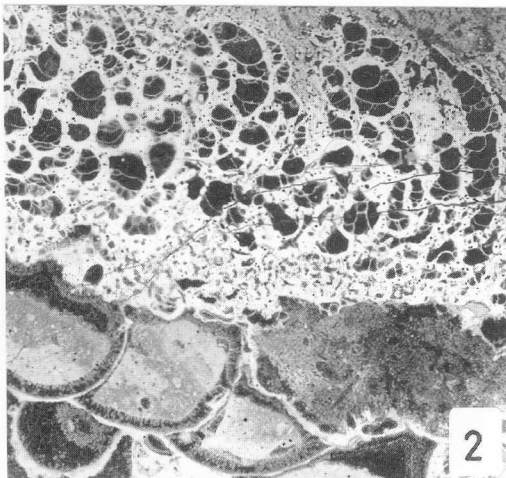


**Tabla 2 - Plate 2**

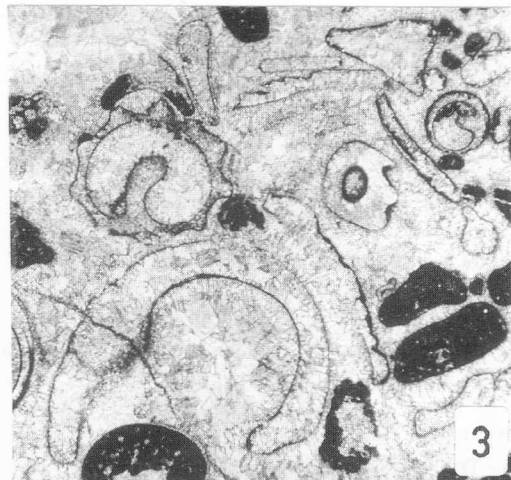
- 1 Biomikritni apnenec s fragmenti školjk in polžev. Vz. Ta 26 - Tamar/Črna voda, karnij, 10 ×  
Biomictic limestone with palecypod and gastropod fragments. Sample Ta 26 - Tamar/Črna voda, Carnian, 10 ×
- 2 Spongijski apnenec (biolitit). Vz. Hj 45 b - Hudajužna, karnij, 10 × (negativ)  
Organogenic spongian limestone (biolithite). Sample Hj 45 b - Hudajužna, Carnian, 10 × (negative print)
- 3 Biosparitni apnenec (grainstone) z gastropodi, ki so opazni po mikritnih ovojih. Vz. T II/46 - Čepovan, Dachsteinski apnenec, norij-retij, 12 ×  
Biosparitic limestone (grainstone) with gastropods, marked by micritic envelopes. Sample T II/46 - Čepovan, Dachstein limestone, Norian - Rhaetian, 12 ×
- 4 Stromatolitni dolomit z izsušitvenimi porami. Vzorec B II/22, Borovnica, Glavni dolomit, norij - retij, 30 ×  
Stromatolitic dolomite with shrinkage pores. Sample B II/22, Borovnica, Main dolomite, Norian - Rhaetian, 30 ×
- 5 Izsušitvena pora z geopetalnimi zapolnitvami - gravitacijskim cementom (vpliv meteorske diageneze) in internim mikritom. Vzorec T V/16a - Smrekova draga na Trnovskem gozdu, Dachsteinski apnenec, norij - retij, 25 ×  
Shrinkage pore with internal geopetal fillings - gravitational cement (meteoric diagenetic influence) and internal micrite. Sample T V/16a - Smrekova draga on Trnovski gozd, Dachstein limestone, Norian - Rhaetian, 25 ×
- 6 Dolosparit s hipidiotopično strukturo (kasnodiagenetska dolomitizacija). Vz. T III/61 - Čepovan, Glavni dolomit, norij - retij, 30 ×  
Dolosparite with hypidiotopic structure (late diagenetic dolomitization). Sample T III/61 - Čepovan, Main dolomite, Norian - Rhaetian, 30 ×



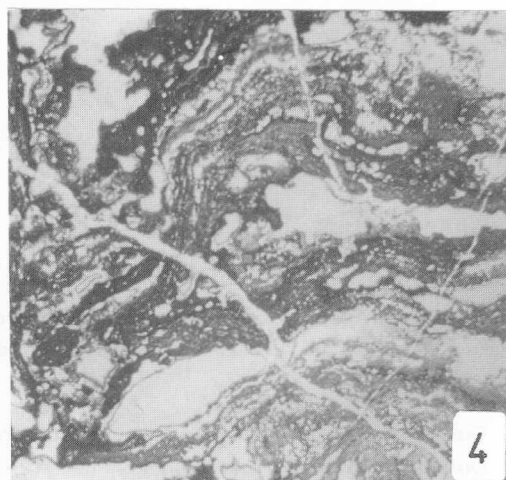
1



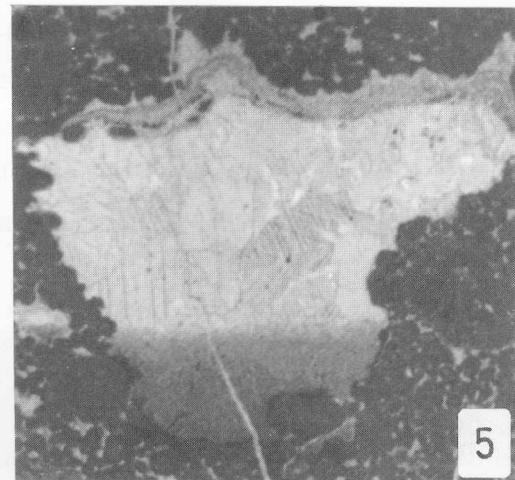
2



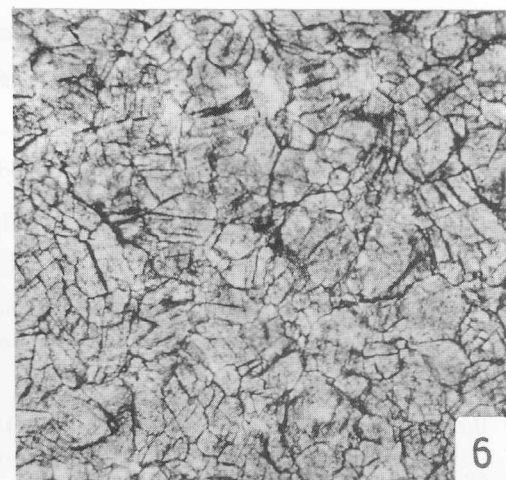
3



4



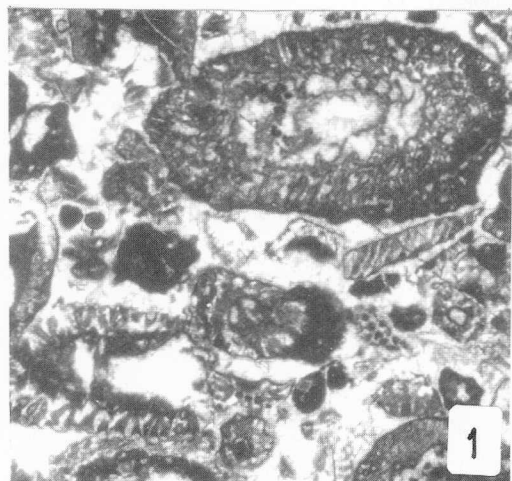
5



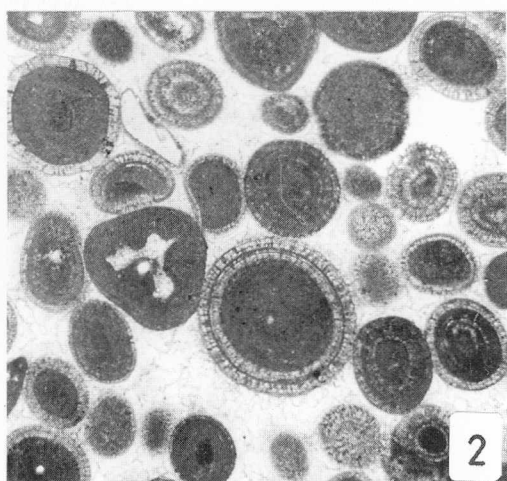
6

**Tabla 3 - Plate 3**

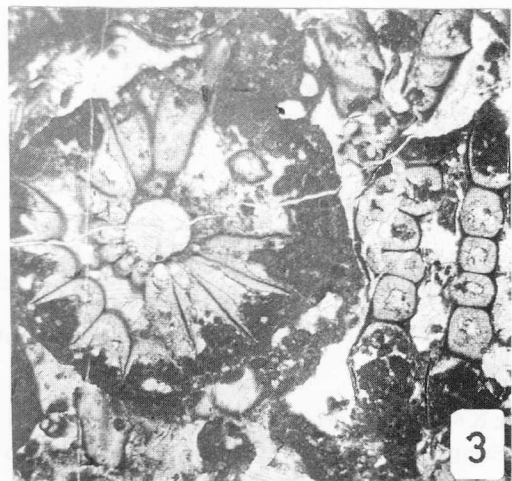
- 1 Biosparitni apnenec z algo *Paleodasyycladus mediterraneus* Pia. Vz. B II/57 - Borovnica, lias, 10 ×  
Biosparitic limestone with algae *Paleodasyycladus mediterraneus* Pia. Sample B II/57 - Borovnica, Lias, 10 ×
- 2 Oosparitni apnenec (grainstone). Vz. Trg 26 - Trnovski gozd, lias, 30 ×  
Oosparitic limestone (grainstone). Sample Trg - 26 - Trnovski gozd, Lias, 30 ×
- 3 Biospritni apnenec z algo *Clypeina jurassica* Favre (packstone). Vz. Trg 132 - Trnovski gozd - Krnica, malm, 15 ×  
Biosparitic limestone with *Clypeina jurassica* Favre (packstone). Sample Trg 132 - Trnovski gozd - Krnica, Malm, 15 ×
- 4 Biomikritni apnenec z amoniti in drobci ehinodermov ter z Mn mineralizacijo (globjevodni razvoj). Vz. B 4 - Bovec - Rombon, dogger, 30 ×  
Biomicritic limestone with ammonites, echinoid fragments and manganese mineralization. Sample B 4 - Bovec - Rombon, Dogger, 30 ×
- 5 Radiolarijski apnenec (wackestone), globjevodno okolje. Vz. B 12a - Bavščica pri Bovcu, malm, 30 ×  
Radiolarian limestone (wackestone), deep water environment. Sample B 12a - Bavščica at Bovec, Malm, 30 ×
- 6 Biomikritni apnenec s kalpcionelami (mudstone). Vz Kob 22 - Kobla - Črna prst, berriasij, 60 ×  
Biomicritic limestone with calpionelids (mudstone). Sample Kob 22 - Kobla - Črna prst, Berriasic, 60 ×



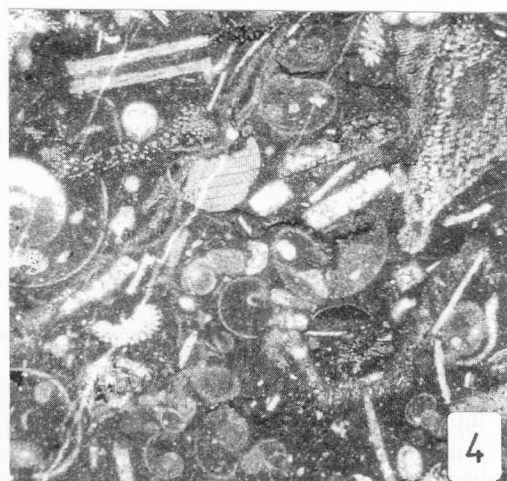
1



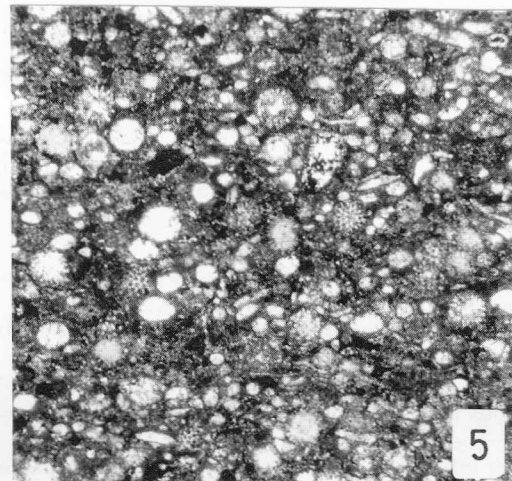
2



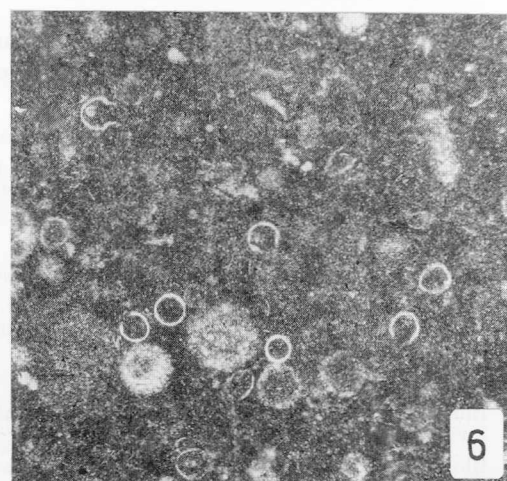
3



4



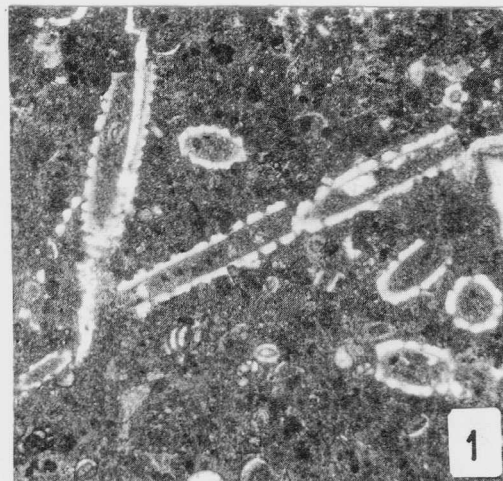
5



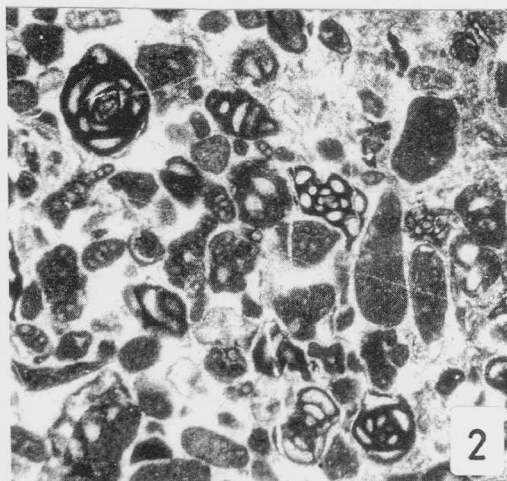
6

**Tabla 4 - Plate 4**

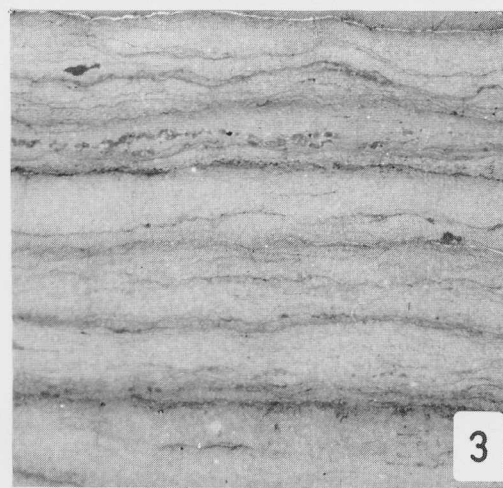
- 1 Biomikritni apnenec z algo *Salpingoporella dinarica* Radoičić (wackestone). Vz. K 6377 - Brje pri Komnu, sp. kreda, 30 ×  
Biomicritic limestone with *Salpingoporella dinarica* Radoičić (wackestone). Sample K 6377 - Brje at Komen, Lower Cretaceous, 30 ×
- 2 Intrabiosparitni miliolidni apnenec (packstone). Vz K 6388 - Brje pri Komnu, sp. kreda, 30 ×  
Intrabiosparitic miliolidal limestone (packstone). Sample K 6388 - Brje at Komen, Lower Cretaceous, 30 ×.
- 3 Laminiran bituminozni apnenec - Komenski apnenec. Vz. Šk 3 - Škrbina pri Komnu, turonij, 30 ×  
Laminated bituminous limestone - Komen beds. Sample Šk 3 - Škrbina at Komen, Turonian, 30 ×
- 4 Biosparitni apnenec s foraminiferami *Rhapydionina liburnica* (Stache). Vz. Vrabče pri Sežani, maastrichtij, 30 ×  
Biosparitic limestone with *Rhapydionina liburnica* (Stache). Sample Vrabče at Sežana, Maastrichtian, 30 ×
- 5 Globotrunkanski apnenec (wackestone) - globjevodni razvoj. Vz. K 12 b - Koritnica pri Boveu, senonij, 30 ×  
Biomicritic limestone with globotruncanids (wackestone) - deep water environment. Sample K 12 b - Koritnica at Bovec, Senonian, 30 ×
- 6 Biomikritni apnenec s haracejami - sladkovodni vpliv sedimentacijskega okolja. Vz Čeb 5 a - Čebulovica pri Senožečah, sp. paleocen - danij, 12 ×  
Biomicritic limestone with characeans - fresh water influence on sedimentary environment. Sample Čeb 5 a - Čebulovica at Senožeče, Lower Paleocene (Danian), 12 ×



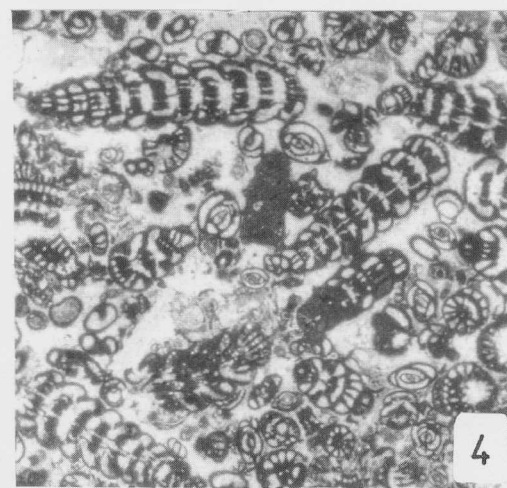
1



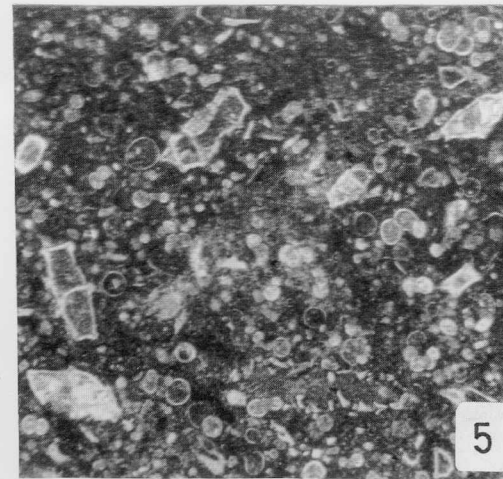
2



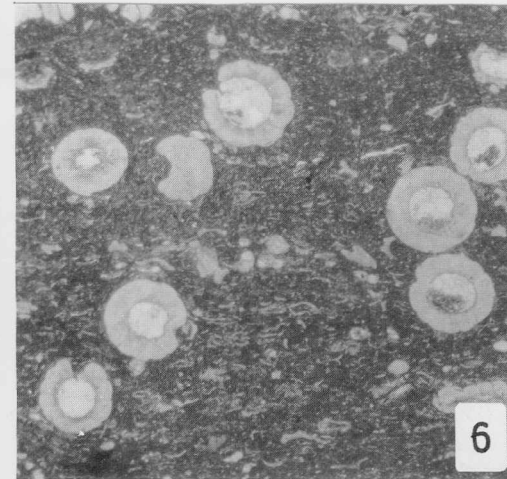
3



4



5



6